171.

611.013.8.81

家兎胎兒腦ノ形態墨的發生ニ關スル研究

岡山醫科大學解剖學教室胎生學研究室(主任敷波教授)

河 內 武

[昭和10年5月20日受稿]

Aus dem Embryologischen Laboratorium des Anatomischen Institutes der Okayama Med. Fakultät (Vorstand: Prof. Dr. J. Shikinami).

Studien über die Morphogenese des Gehirns bei Kaninchenembryonen.

Von

Takeshi Kochi.

Eingegangen am 20. Mai 1935.

Verfasser hatte schon auf Grund seiner morphologischen Studien des Gehirns bei den Vögeln (Uroloncha domestica Flower und Hirundo rustica gutturalis) genaue Ergebnisse veröffentlicht. Da es aber vom Standpunkte der vergleichenden Entwicklungsgeschichte nötig ist, auch den Verlauf dieses Vorganges bei den Säugetieren festzustellen, so hat Verfasser über die Morphogenes des Gehirns bei Kaninchenembryonen Untersuchungen angestellt. Er erhielt folgende Resultate:

 Der Neuroporus anterior verschliesst sich bei einem Embryo von 9 Tagen mit 13 Ursegmenten, der Neuroporus posterior bei einem Embryo von 9 1/2 Tagen mit 22 Ursegmenten. Der Neuropurus anterior schliesst sich also früher als der Neuroporus posterior; dies ist anders als bei den Vögln, bei denen sich der Neuroporus posterior früher verschliesst.

2) Der kraniale Teil des Nervenrohres bildet das Prosencephalon bei einem 8 Tage und 18 Stunden alten Embryo mit 9 Ursegmenten, das Mesencephalon bei einem 8 Tage und 20 Stunden alten mit 11 Ursegmenten, das Rhombencephalon bei einem 9 Tage alten mit 13 Ursegmenten; dadurch entstehen 3 primäre voneinander getrennte Hirnbläschen. Die 3 primären Hirnbläschen entstehen also nicht gleichzeitig; zuerst entsteht das

Prosencephalon, dann das Mesencephalon, schliesslich das Rhombencephalon. Dieses Verhältnis ist bei den Säugern und bei den Vögeln ganz gleichartig.

3) Das Prosencephalon teilt sich ins Telencephalon und Diencephalon bei einem Embryo von 10 1/2. Tagen mit 32 Ursegmenten, das Rhombencephalon teilt sich ins Metencephalon und Myelencephalon am 12. Tage bei einem Embryo mit 46 Ursegmenten. Telen- und Diencephalon bilden sich also früher als Meten- und Myelencephalon, d.h. es ist ebenso wie bei den Vögeln.

4) Über die Grosshirnhemisphäre:

Bei einem Embryo von 12 Tagen mit 46 Ursegmenten bildet sich ein longitudinaler Sulcus hemisphäricus in der dorsalen Wand des Telencephalon, durch welchen die dorsalen und lateralen Wände des Telencephalon in eine linke und rechte Hemisphäre geteilt werden. Der Hohlraum der Hemisphäre erweitert sich zum Seitenventrikel.

Bei einem Embryo von 14 Tagen bildet die ventrale Innenwand der Hemisphäre das Corpus striatum ventrale, ihre laterale Innenwand das Corpus striatum laterale. Das Corpus striatum ventrale nähert sich der Lamina terminalis und bildet mit ihr das Foramen Monroi. In diesem Stadium wird auch das Gebiet des Telencephalon medium deutlich, indem seine dorsale Wand von Lamina termiventralen und lateralen nalis. seine Wände vom Corpus striatum ventrale geformt werden. Der Hohlraum des Telencephalon medium stellt das orale Ende des 3. Ventrikels dar, welcher vermittelst des Foramen Monroi in Seitenventrikel geöffnet ist.

Bei einem Embryo von 16 Tagen teilt die kraniale Ventralwand der Hemisphäre das Rhinencephalon ab. Da sich das Corpus striatum mit dem Thalamus opticus des Diencephalon verbindet, so ist die Wand des Foramen Monroi von Corpus striatum ventrate, Talamus opticus und Lamina terminalis gebildet. Die dorsale Wand der Hemispäre bildet das Pallium und ihre mediale Wand den Hippocampus. Aus der Lamina terminalis entsteht die Paraphyse. Das Velum transversum bildet mit dem Mesenchym den Plexus chorioideus des Seitenventrikels.

5) Über das Diencephalon:

Bei einem Embryo von 10 1/2 Tagen mit 32 Ursegmenten beldet das kaudale Ende der ventralen Wand des Diencephalon das Tuberculum posterius, ihr kaudaler Teil das Tuber mammillare.

Bei einem Embryo von 14 Tagen bildet ein Teil der dorsalen Wand des Diencephalon die Epiphyse, ihre grosse dorsale Wandpartie teilt sich in Parencephalon und Synencephalon. Der Hohlraum des Diencephalon nimmt bedeutend am sinistro-dexteren Durchmesser ab und bildet den 3. Ventrikel.

Bei einem Embryo von 16 Tagen bildet der dorsale Teil der lateralen Wand des Diencephalon den Thalamus opticus, ihr ventraler Teil den Hypothalamus. Sulcus hypothalamicus od. Sulcus limitans, welcher vom Foramen Monroi und Recessus opticus ausgeht und miteinander zusammentrifft, läuft zwischen dem

Thalamus opticus und Hypothalamus längsweise caudalwärts.

6) Über das Mesencephalon:

Bei einem Embryo von 14 Tagen entwickelt sich ein sagittaler Sulcus medianus mesencephali in dem mittleren Teil der dorsalen Wand des Mesencephalon. Die ventrale Wand des Mesencephalon bildet den Pedunculus cerebri und lässt ein Paar Nervus oculomotorius anwachsen.

Bei einem Embryo von 16 Tagen senkt sich der Sulcus medianus mesencephali noch tiefer. Von diesem Sulcus begrenzt, entstehen der linke und rechte Lobus opticus von der dorsalen und lateralen Wand des Mesencephalon.

7) Über das Metencephalon und Myelencephalon:

Bei einem Embryo von 14 Tagen nehmen die Hohlräume des Metencephalon und des Myelencephalon am sinistrodexteren Durchmesser ab und stellen den 4. Ventrikel dar.

Bei einem Embryo von 16 Tagen verdicken sich die dorsale und die laterale Wand des Metencephalon leistenartig und bilden das Cerebellum, seine ventrale Wand bildet die Pons; die dorsale Wand des Myelencephalon bildet mit dem Mesenchym den Plexus chorioideus des 4. Ventrikels, seine ventrale Wand mit der lateralen Wand die Medulla oblongata.

- 8) Von den Grenzen der sekundären Hirnbläschen bei den Vögeln sowie bei den Säugern.
- (A) Es entspricht die Telencephalon-Diencephalongrenze, die Eminentia telo-diencephalica, der Verbindungslinie

zwischen dem Recessus opticus und dem Velum transversum.

- (B) Die Diencephalon-Mesencephalongrenze, die Eminentia mesodiencephalica, entspricht derjenigen Linie, welche quer vom Tuberculum posterius zur dorsalen Wand gezogen wird
- (C) Die Mesencephalon-Rhombencephalongrenze entsteht anfangs vom Sulcus rhombo-mesencephalicus, später vom Isthmus.
- (D) Die Metencephalon-Myelencephalongrenze zieht sich durch den Recessus lateralis.
- 9) Das Gehirn zeigt 3 Hirnbeugen bei den Vögeln wie auch bei den Säugern. Der Anteil der 3 Hirnbeugen und ihre entstandene Ordnung sind bei den Säugern und Vögeln gleich: anfangs nämlich erscheint die Kopfbeuge im Mesencephalon, dann die Nackenbeuge im kaudalen Ende des Rhombencephalon, endlich die Brückenbeuge in der kranioventralen Wand des Myelencephalon.
- 10) Was die Neuromerenzahl im Rhombencephalon betrifft, so findet Verfasser 6 Paar, sie ist also ganz ähnlich, wie sie Verfasser schon bei ben Vögeln beobachtet hat.

Über die Verhältnisse zwischen den Neuromeren und Hirnnervenganglien im Rhombencephalon:

- (A) Ganglion semilunare des V. Hirnnerven wächst von II. Neuromerie aus.
- (B) Ganglion acustice-faciale des VII. und VIII. Hirnnerven von IV. Neuromerie.
 - (C) Ganglion superius des IX.

Hirnnerven von V. Neuromerie.

(D) Ganglion jegulare des X. Hirnnerven wächst von der lateralen Wand des Rhombencephalon aus welche caudalwärts als VI. Neuromerie liegt, ohne Beziehung zu der Neuromerie.

. (Autoreferat.)

內容目次

第1章 緒 言

第2章 材料及ビ檢索方法

第3章 各胎兒ニ於ケル腦及ビ他ノ一般發生狀 態ノ觀察

第4章 總括及ピ考察

第5章 結 論

主要文獻

挿圖說明

第1章 緒 言

哺乳類胎兒腦ニ關スル文獻ハ多數見ラルル モ脳全般ノ發生ニ關スル業績ハ魦ク,Hirnteil ノ部分的發生ニ就テ研究セシモノ多シ, 卽チ Stroud (1895) ハ Katze ニ於テ小腦ノ發生ニ 就キ記載シ、 Martin (1893-1894) ハ Katze ニ於テ Gehirnbalken ノ 發生ニ就テ觀察シ, Bradley (1906) ハ Schwein ニ於テ後腦ノ發 生ヲ, Johnston (1909) ハ Schwein ニ就テ前 腦ノ Morphologie ヲ, Heuser (1913-1914) ハ同ジク Schwein ニ於テ Hirnventrikel ノ 發生ヲ觀察セリ. Thompson (1909) ^ Katzenembryo ノ脳全般ノ Morphologie ニ 就テ觀察セシモ單ニ 20.0 mm Embryo ニ於ケ ル所見ヲ記載シ, Ziehen(1909)ハ Kaninchen ニ於テ同様ニ Stadium ヲ追ハザル腦ノ Morphologie ニ就テ記載シ, Patten (1927) ハ其 ノ著書 "Embryology of the pig" ニ於テ

總括的ニ腦ノ發生ニ就テ記載セリ. 斯ノ如ク 腦全般ノ發生ニ關スル業績ハ尠ク且其ノ成績 ニ於テハ諸多ノ點ニ於テ-・致ヲ缺ケリ, 就中 Sekundäres Hirnbläschen ノ境界,Rhombencephalon 二於ケル Neuromerenzahl, Neuromerie ト Hirnnerven トノ關係或ハ Plexuschorioideus ノ發生地等ニ關シテハ尙 ホ所論ヲ異ニセリ. 而巳ナラズ研究動物ハ多 クハ Schwein ニ限ラレ, 特ニ Kaninchen ニ 於テ發育階梯ヲ追ヒ系統的ニ腦全般ノ發生ニ 就テ研究セシ業績ハ未ダ之アルヲ知ラズ. 兹 ニ於テ著者ハ Kaninchen 脇ノ發生ニ關スル 研究ニ志シ,2箇年ヲ費シ少カラザル苦心ヲ拂 ヒテ蒐集セシ家兎胎兒ニ就キ早期ノ神經管時 期ョリ可及的後期ニ亙リ, 特ニ Neuroporus anterior ト Neuroporusposterior ノ閉鎖ノ 時期的關係,Primäres Hirnbläschen 及ビ Sekundäres Hirnbläschen ノ發生並ニ其ノ 發生順序,Sekundäres Hirnbläschen ノ境 界, Grosshirnhemisphären / 形成, Corpus striatum 及ビ Hippocampus ノ 發生, Foramen Monroi ノ形成, Thalamus ノ發生, Cerebellum ノ 發生, Plexus chorioideus ノ 發生地, Hirnventrikel ノ形成, Rhombencephalon ニ於ケル Neuromerenzahl, Neuromerie ト Hirnnervenganglion トノ關係等 ニ留意シ,顯微鏡的檢查ニ加フルニ正確ナル 基準ニョル複製模型及ビ外形模型ノ正中斷面

ヲ基礎トシテ觀察シ,之ヲ囊ニ研究シ既ニ發 表セシ鳥類(十姉妹及ビ燕)ニ於ケル成績ト比 較考察シ幸ニ詳細ナル研究ヲナシ得タルヲ以 テ茲ニ發表セントス・

第2章 材料及ビ檢索方法

本研究ニ用ヒシ家兎胎兒ハ蓍者ガ昭和8年ヨリ 2 簡年ヲ費シ少カラザル苦心ヲ拂ヒテ蒐集セシモ ノニシテ胎見ハ何レモ交尾後一定日時ヲ經過セシ モノナリ、採集ニ方リテハ交尾後一定日時ヲ經過 セシ母體ヲ Aether 麻醉ノ下ニ閉キ先ヅ Uterus ヲ摘出シ次デ「シヤーレ」ニ盛レル生理的食鹽水中 ニテ細心注意ノ下ニ Uterus ヲ切開シ交尾後日數 淺キ胎兒ハ Lupe ノ下ニ探索シ、 幼若ナル胎兒ハ 遊離スルコト困難ニシテ且損傷ノ虞アルヲ以テ胎 盤ト共ニ摘出シ、發育セル大ナル胎兒ハ胎盤ヨリ 遊離シテ摘出セリ. 斯クシテ採集セシ大小 90 個體 ハ採集後直チニ Zenker 氏液ニテ固定シ、 Borax-Carmin ニテ染色シ、所定ノ方法ヲ經テ Paraffin ニ包埋シ, 大ナル胎兒ハ20 μ及ピ25 μノ連續切 片トナシ, 細小ナル大部分ノ胎兒へ 10 µ連續切片 トナセリ、斯クシテ製作シタル連續切片ニ就キ顋 微鏡的檢查ヲ行フト同時ニ Edinger ノ Zeichenapparat ニョリ適宜 = 50 倍或ハ 100 倍ニ擴大シ. 之ヲ夫々 0.5mm 或ハ 1.0mm ノ蠟板ニ複寫シテ象 形複成術模型ヲ製作シ檢索ニ資セリ.

第3章 各胎兒ニ於ケル腦ノ發生及 ビ他ノ一般發生狀態ノ觀察

第1階梯. 胎兒番號 Nr. 86.8日18時間. 原節(9) 一般發生狀態 / 顯微鏡的所見

原節ハ9對ヲ算シ未ダ Ursegmenthöhle ヲ有ス. 心臓原基ハ未ダ癒合セズシテ左右對稱的ニ存スルモ筋層ト内膜トヲ識別シ得. 原始眼胞並ニ塾

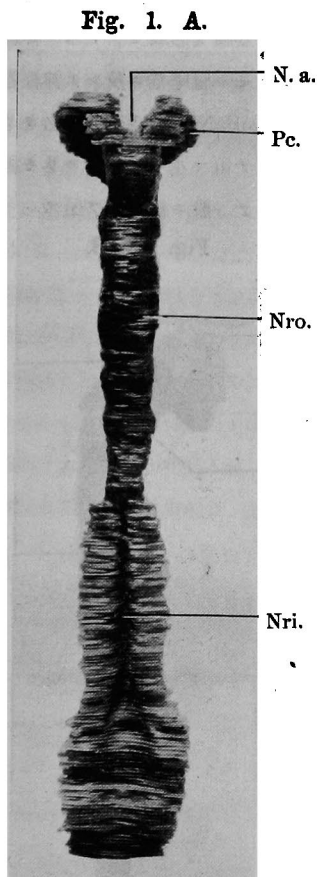
原基ハ未ず發生セズ

神經系統ノ顯微鏡的所見並ニ模型所見

神經系統ヲ頭方ヨリ尾方ニ向ツテ鏡檢スルニ頭 方部神經板ハ左右ニ分立セルモ蓍シク肥厚シ横斷 面ニテハ相向ヘル幅廣キ3日月形ヲ呈シ前腦ヲ形 成シ、左右神經板ノ正中部ハ卽チ前神經孔ニシテ 120µ ノ長サニ亙リテ之ヲ見ル. 前脳ヨリ尾方990µ ニ亙ル神經堤ハ完全ニ癒合シテ神經管ヲ形成シ, 神經管ノ尾端ヨリ尾方 960μ ニ亙ル神經堤ハ未ダ 癒合セズシテ神經溝トシテ存シ、頭方部神經溝へ 深ク腹方ニ向タテ陷凹シ横斷面ノ形狀ハ略ポ V字 形ヲ呈スルモ尾方部神經溝ハ浅ク且廣濶ニシテ横 断面皿形ヲ呈ス、次ニ神經系統ヲ模型ニ就テ觀察 スルニ Fig. 1. A. ノ面背観並ニ Fig. 1. B. ノ側面 觀ニ示ス如ク頭方部神經管ハ蓍シク左右側ニ膨出 シ且稍々前方ニ屈シテ前腦 (Fig. 1. A. Pc, Fig. 1. B. Pc.) ヲ形成ス. 其ノ形成ハ未ダ途上ニアルヲ以 テ前腦正中部ニ矢狀徑ノ大ナル Trichter förmig ノ前神經孔(Fig. 1.A. N. a.) ヲ遺シEpidermisblatt (Fig. 1. B. Eb.) ト結合ス. 前脳ヨリ尾方11.0 cm ニ亙ル範圍ノ神經堤ハ癒合シテ神經管 (Fig. 1. A. Nro.) ヲ形成セルモ未ダ中脳或ハ菱腦ノ分化ヲ認 メ得ズ、削腦ノ直後ニシテ將來ノ中腦ニ相當スル 部位ハ輕度ニ腹方ニ屈シテ Kopfbeuge ヲ形成シ 之ニ從テ前腦ハ前方ニ突出ス. 神經管尾端ヨリ尾 方ハ未ダ神經溝(Fig. 1. A. Nri.)ニシテ其ノ頭方部 ハ神經堤高ク神經溝ハ深クシテ狹隘ナルモ尾方ニ 至ルニ從ヒ神經堤ハ低ク神經溝ハ廣濶トナリ尾端 部へ稍々平坦ナリ、腦彎曲へ腦ノ Morphogenese ト不可分ノ關係ニアルヲ以テ哺乳類殊ニ家兎ニ於 ケル Kopfbeuge ノ形成ト原始腦胞發生トノ相互 ノ時期的關係ヲ余ノ爨ニ研究セシ鳥類(十姉妹及 ピ燕) ニ於ケルソレト比較スルニ哺乳類ニ於テハ 既ニ述ベタル如ク前腦發生ノ時期ニ早クモ Kopfheuge 形成サレルモ鳥類ニ於テハ前腦, 中腦及ビ

菱腦ノ3箇ノ原姶腦胞ノ分立セル時期ニ至リ初メ

テ形成サレルヲ見タリ.

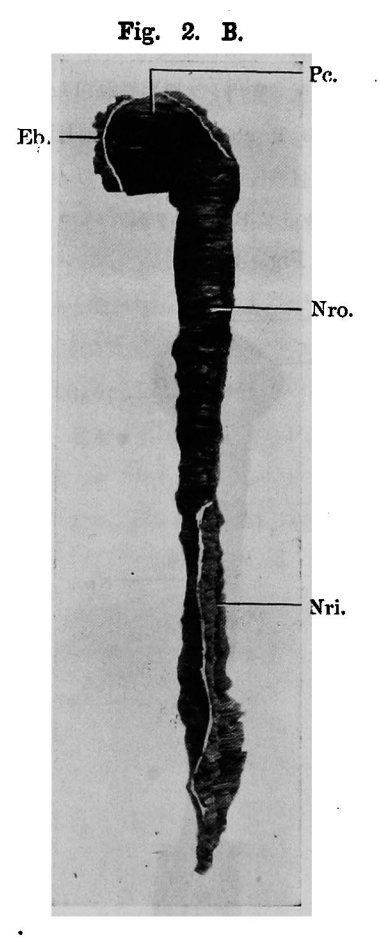


第2階梯. 胎兒番號 Nr. 92. 8日20時間. 原節(11) 一般發育狀態ノ顯微鏡的所見

原節へ 11 ヲ算シ前時期ニ於テハ Ursegmenthöhle ヲ見タリシガ本時期ニ於テハ細胞増殖シテ 殆ド實質性トナル. 心原基ヲ見ルニ前時期ニ於テ ハ左右ノ兩原基未ダ癒合セザリシガ本時期ニ於テ へ兩原基態合シ筋層ト内膜ノ區別一層明瞭ナリ.

神經系統ノ顯微鏡的所見並ニ模型所見

前腦側壁へ著シク左右側ニ擴張シテ横斷面ノ形 状ハ横ニ橢圓形ヲ呈シ原始眼胞ヲ形成シ其ノ腔室 へ前脇腔室ト交通シ、前脳背壁正中部ニ於テ前神 經孔へ前時期ヨリモ蓍シク狹隘トナリテ間隙狀ヲ

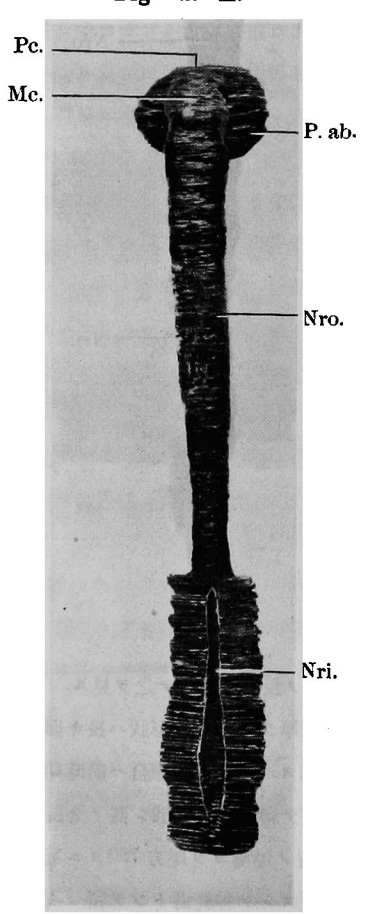


呈シ190μノ長サニ亙リテ之ヲ見ル. 前腦直後ノ 神經板ハ肥厚シ横斷面ノ形狀ハ長キ卵圓形ヲ呈シ 中脳ヲ形成ス・神經堤ノ癒合ハ前時期ヨリモ一層・ 尾方ニ及ビテ神經管ヲ形成シ其ノ全長 1320μヲ算 ス. 神經管ノ尾端ヨリ尾方 780 μニ亙ル神經堤ハ 未ダ懸合セズシテ神經溝トシテ留マルモ前時期ヨ リモ神經堤高ク神經溝ハ深クシテ尾方部ヲ除ク外 ハ横斷面ノ形狀 U 字形ヲ呈ス.

次ニ模型ニ就テ觀察スルニ Fig. 2. A. ノ背面觀 及ビ Fig. 2. B. ノ側面觀ニ示ス如ク前腦 (Fig. 2. A. Pc.) ハ横ニ橢圓形ヲ呈シ, 前時期ニ於ケル前神 經孔ハ廣濶ニシテ Trichter förmig ノ狀ヲ呈セシ

ガ本時期ニ於テハ蓍シク狹隘トトナリ前腦背壁正 中部ニ於テ矢狀徑ニ約2.0 cm ノ長サニ亙リテ間 隙狀ヲ呈シEpidermisblatt (Fig. 2. B. Eb.)ト結合 ス. 前脳ノ兩側壁ハ膨出シテ原始眼胞 (Fig. 2. A. P. ab, Fig. 2. B. P. ab.) ヲ形成ス. 前腦直後ノ 神經管ハ發育シ且輕度ニ前方ニ屈シテ初メテ中腦 (Fig. 2. A. Mc, Fig. 2. B. Mc.) ヲ形成シ,コノ腹壁

Fig. 2. A.

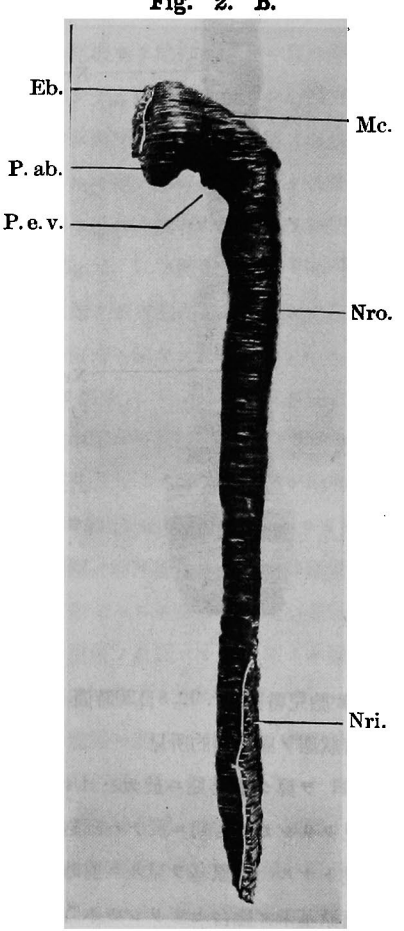


第3階梯. 胎兒番號 Nr. 93. 9日. 原節(13) 一般發育狀態ノ顯微鏡所見

心原基ヲ見ルニ前時期ヨリモ一層左腹方ニ膨出 シ、筋層ハ稍々肥厚シ、背心間膜存み、前時期ニ 於テハ未ず聽原基ノ發生ヲ見ザリシガ本時期ニ於 テハ頭方神經管ノ背側ニ於ケル外胚葉ハ肥厚シテ

r Plica encephali ventralis (Fig. 2. B. P. e. v.) ヲ形成ス. 中脳直後ノ神經管ハ稍々側方及ビ腹方 ニ膨出シテ菱腦ヲ形成セントス、神經堤ノ癒合ハ 前時期ヨリモー層尾方ニ及ンデ神經管(Fig. 2. A. Nro, Fig. 2. B. Nro.) ヲ形成シ, 之ョリ尾方ハ未ダ 神經溝トシテ留マルモ前時期ヨリモ神經堤高ク神 經溝深クシテー般ニ紡錘形ヲ呈ス.

Fig. 2. B.



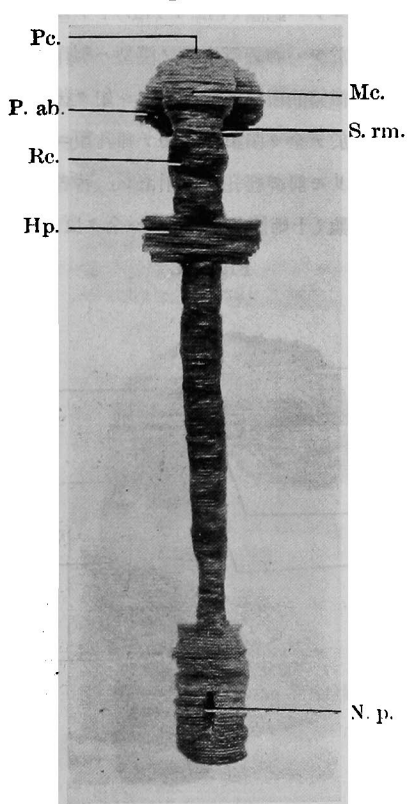
初メテ聽板ヲ形成ス.

神經系統ノ顯微鏡的所見並ニ模型所見

神經系統ヲ頭方ヨリ尾方ニ向ツテ觀察スルニ前 腦ノ兩側壁ハ伸展シ之ニ從ツテ腔室ハ擴張シ,原 始眼胞ハ發育ス・前神經孔ハ本時期ニ於テ全ク癒 合シ間隙ヲ遺サザルモ該部ハ約 170μノ長サニ亙 リ Epidermisblatt ト結合ス・中腦ノ兩側壁ハ前時期ヨリモ伸展シ腔室モ擴張ス・神經堤ノ癒合ハ前時期ヨリモ著シク尾方ニ及ビ1710μニ亙リテ神經管ヲ形成スルモ神經管尾端ニハ尚ホ180μノ長サニ亙ル後神經孔ヲ遺ス・卽チ本時期ニ於テ前神經孔閉鎖セルモ後神經孔ハ尚ホ遺殘ス・

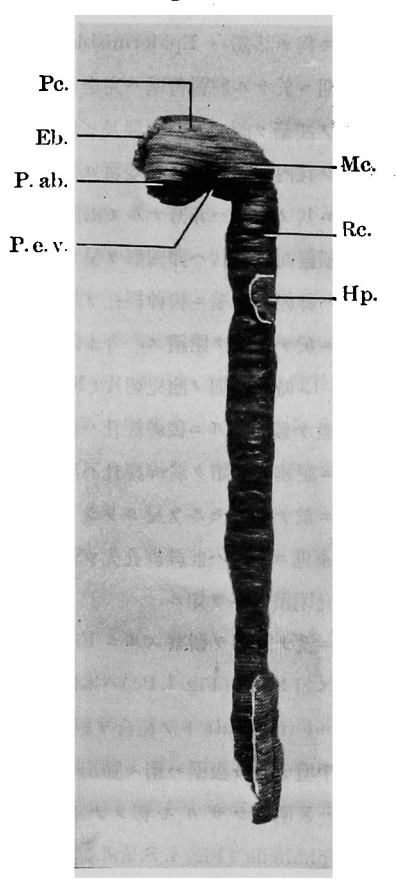
次ニ模型ニ就テ觀察スルニ Fig. 3. A. ノ背面觀 並ニ Fig. 3. B. ノ側面觀ニ示ス如ク前腦 (Fig. 3. B. Pc.) ノ兩側壁ハー層膨出シ、原始眼胞 (Fig. 3. A. P. ab, Fig. 3. B. P. ab.) ハ發育ス. 前時期ニ於 テ見タル前神經孔ハ本時期ニ於テ全ク閉鎖セルモ 該部ハ尚ホ 2.0 cm ノ長サニ亙リ Epidermisblatt (Fig. 3. B. Eb.) ト結合ス 中腦(Fig. 3. A. Mc.) ヲ 見ルニ前時期ヨリモ兩側壁伸展シ、腹側ノ Plicae-

Fig. 3. A.



ncephali ventralis (Fig. 3. B. P. e. v.) ハ稍々著明トナルモ Kopfbeuge ハ未ダ極度ナルヲ以テ之ヲ中心トセル前腦縦軸ト菱腦縦軸トノ交角ハ鈍角状ヲナス・中腦尾方部外壁ハ本時期ニ於テ初メテ腦管縦軸ニ横徑ニ輪狀ニ陷凹シテ Sulcus rhombomesencephalicus (Fig. 3. A. S. ri m.) ヲ形成シ中腦ト菱腦トノ境界明瞭トナリル. Sulcus rhombomesencephalicus 直後ノ神經管ハ發育シテ兩側壁ハ膨出シ本時期ニ於テ菱腦 (Fig. 3. A. Rc, Fig. 3. B. Rc.) ヲ形成シ,コノ稍々尾方部背側ニ於テ外胚葉角板ハ肥厚シテ初メテ聽板(Fig. 3. A. Hp).ヲ形成ス. 斃板ヨリ尾方ノ神經管ハ眞直ナル管狀ヲ呈シ、頭方ヨリ尾方ニ至ルニ從ヒ漸次細小トナリ尾端部ハ尚ホ Epidermisblattト結合シ,尾端ノ直上





ニ維列狀ノ後神經孔(Fig. 3. A. N. p.) ヲ見ル. 既ニ記載セシ如ク第1階梯ニ於テ神經管頭方部ハ前腦ヲ形成シ、第2階梯ニ於テ中腦ヲ形成シ、本階梯ニ於テハ菱腦ヲ形成シテ此處ニ3箇ノ原始腦胞分立ス.

第4階梯. 胎兒番號 Nr. 96. 9日 12 時間原節(22) 一般發育狀態ノ顯微鏡的所見

1對ノ第1鰓嚢初メテ發生シ、前腸頭方部ノ左右壁ハ膨出シテ氣管原基ヲ形成ス. 心原基ハ其ノ筋層肥厚シ且大動脈弓ノ形成ヲ見ル. 前時期ニ於テ見タル斃板ハ本時期ニ於テ腹方ニ陷凹シテ繫窩ヲ形成ス.

腦部及ピ神經管ノ顯微鏡的所見並ニ模型所見 先ヅ切片ニ就テ觀察スルニ前時期ニテハ前神經 孔閉鎖セシモ尚ホ該部ハ Epidermisblatt ト結合 セシガ本時期ニ於ケル前腦背壁ハ完全ニ Epidermisblatt トノ連絡ヲ絕テリ、中脳及ビ菱腦ハ其ノ 壁ー層肥厚シ且内腔モ擴張ス、菱腦ヨリ尾方ノ神 經管ヲ見ルニ其ノ背壁ハ菲薄ナルモ兩側壁及ピ腹 壁ハ肥厚シ横斷面ノ形狀ハ卵圓形ヲ呈シ,前 時期ニ於テハ神經管尾端ニ後神經孔ヲ見タリ シガ本時期ニ於テハ全ク閉鎖ス・今本階梯ト 同ジク 9 日 12 時間ノ別ノ胎兒切片 (Nr. 97, Nr. 98) ニ就テ觀察スルニ後神經孔ハ何レモ 閉鎖ス. 既ニ記述セシ如ク前神經孔ハ前階梯 (9日胎兒)ニ於テ閉鎖セルヲ見タリシヲ以テ 哺乳類殊ニ家兎ニ於テハ前神經孔先ヅ閉鎖シ 次デ後神經孔閉鎖スルヲ知ル.

次ニ模型ニ就テ腦部ヲ棚察スルニ Fig. 4 ノ 側面觀ニ示ス如ク前腦(Fig. 4. Pc)ハ本時期ニ 於テ全ク Epidermisblatt トノ結合ヲ絕チ, 背 壁ハ比較的平坦ナルモ腹壁ハ稍々膨出シ, 側 壁ノ尾方ニハ著明ナラザル モ初メテ Sulcus mesodiencephalicus (Fig. 4. S. md.) 發生シ

中脳トノ境界明瞭トナル. 原始眼胞(Fig. 4. P. ab.) ハ前腦頭方部ニ於テ前時期ヨリモー層側方ニ膨出 シ其ノ背壁ハ比較的平坦ナルモ腹壁基根部ハ稍々 狹窄シテ眼莖形成ノ光ヲ呈ス. 中腦(Fig.4. Mc.)ハ Sulcus meso-diencephalicus |ヲ以テ前腦ニ接シ, 腹壁ノ發育ハ未ダ幼稚ナルモ背壁ハ伸展シテー般 ニ腹方ニ向ッテ弧状ニ屈シ Kopfbeuge 及ビ腹壁 ノPlica encephali ventralis (Fig. 4. P. e. v.)ハ著 明トナル、從テ中腦ヲ中心トセル前腦ト菱腦トノ 交角ハ前時期ヨリモ稍々減少シテ略ボ直角ヲナス. 菱腦 (Fig. 4. Rc.)ハ未ず著明ナラザル輪狀路凹ノ Sulcus rhombo-mesencephalicus(Fig. 4. S. rm.) ニョリテ中腦ニ接シ、未ず眞直ナル腦管ナルモ中 間部1左右壁ハ膨出シテー般ニ略ボ紡錘形ヲ呈ス. 前時期ニ於テ外胚葉角板ヨリ形成サレタル騘板ハ 本時期ニテハ糖窩 (Fig. 4. Hg.)トナル. 本時期ノ 胎兒ニ於テハ神經管全長ノ模型ハ製作セザリシモ 既ニ顯微鏡的所見ニ於テ述ベシ如ク後神經孔ハ本 時期ニ於テ全ク閉鎖ス、卽チ哺乳類ニ於テハ後神 經孔ヨリモ前神經孔先ニ閉鎖シ、著者ノ曩ニ檢索 セシ鳥類(十姉妹及ピ燕)トハ全ク反ス.

Pc.
P. ab.
S. md.
P. e. v.

Hg.

第 5 階梯. 胎兒番號. Nr. 58.10日. 原節(29) 一般發育狀態/顯微鏡的所見

本時期ニ於テハ第2鰓囊發生シテ外胚葉ニ接 ス. 心臓原基ハ本時期ニ於テ初メテ心房ト心室ト ヲ區別シ得. 背部大動脈ノ側腹方ニ於ケル腹膜ノ 内側ニ Wolff 氏管ノ發生セルヲ見ル.

腦部ノ顯微鏡的所見並ニ模型所見

前腦ハ其ノ横斷面ノ形狀背腹ニ向ッテ卵当形ヲ呈シ、眼胞腔室ハ短大ナル眼莖腔室ヲ介シテ前腦腔室ト交通ス、中腦(Fig. 5. A. Mc.) ハ其ノ横斷面ノ形狀尖端ヲ菱惱ニ向ケテ卵圓形ヲ呈ス、菱腦(Fig. 5. A. Rc.) ハ其ノ縱斷(Frontalschnitt)面ノ形狀略ボ紡錘形ヲ呈シ、本時期ニ於テ側壁及ピ腹壁ニ亙リ第1乃至第5ノ5對ノ Neuromeren 發生ス、側壁ニ於ケル Neuromeren(Fig. 5. A. Nm. I-V)ハ其ノ Neuromerenwulst 及ピ各 Neuromerie 相互ノ間ノ境界稍を不明瞭ナルモ腹壁ニ於ケルモノハ明瞭ナリ、然ルニ腹壁ニ於ケル Neuromeren ハ腦神經節ト距タリ其ノ兩者ノ關係ヲ觀察スルニ不便ナルヲ以テ菱腦側壁部ノ切片寫眞ヲ此處ニ引用セリ、本時期ニ於テ2對ノ腦神經節發生ス、卽其ノ頭方ノ1對ハ第5腦神經ノ Ganglion semilunare

Fig. 5. A.

Rc.
G. a. f.

G. s.

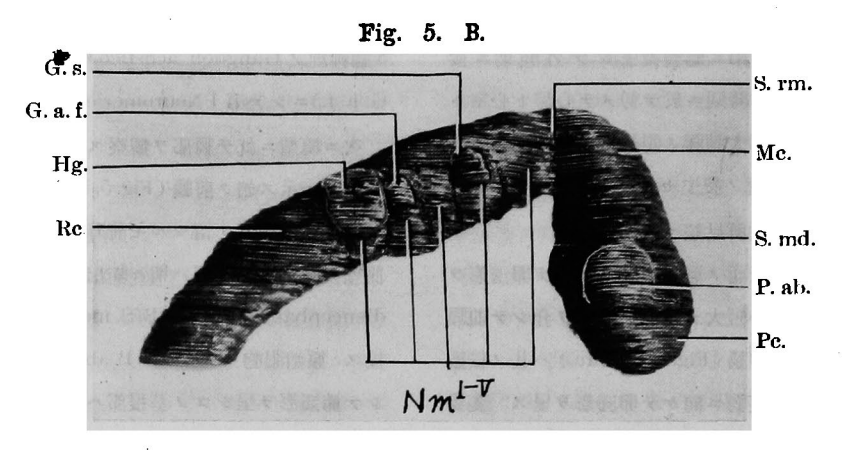
Mr.

Mc.

(Fig. 5. A. G. s.) = シテ第 2 Neuromeie ヨリ發生 シ大ナル細胞塊ヲ成ス. 尾方ノ1對ハ第 7 及ビ第 8 脳神經ノ Ganglion acustico-factale (Fig. 5. A. G. a. f.) = シテ第 4 Neuromerie ヨリ 發現ス.

次ニ模型ニ就テ脳部ヲ觀察スルニ Fig. 5. B. ノ 側面觀ニ示ス如ク前腦 (Fig. 5. B. Pc.)ハ未よ 1 箇 ノ原始腦胞トシテ留マルモ前時期ヨリモ發育シテ 側壁及ビ腹壁尾方部ハ稍々膨出シ、Sulcus mesodiencephalicus (Fig. 5. B. S. md.) = ヨリテ中腦 = 接ス. 原始眼胞 (Fig. 5. B. P. ab.) ハ頭尾徑ニ伸展 シテ橢週形ヲ呈シコノ基根部ハ腹尾方ヨリ狹窄シ テ短大ナル眼莖ヲ形成ス. 中腦 (Fig. 5. B. Mc.)ハ 其ノ發育未ダ幼稚ナルモ Kopfbeuge 及ビ腹壁ノ Plica encephali ventralis ハ前時期ヨリモ著明ト ナル、從テ中腦ヲ中心トセル前腦縦軸ト菱腦縦軸 トノ交角ハ前時期ヨリモ減少ス. 菱腦(Fig. 5. B. Rc.) ハ明瞭ナル輪狀ノ Sulcus rhombo-mesencephalicus (Fig. 5. B. S. rm.)ニョリテ中腦ニ接シ未 ダ1箇ノ脳管ナルモ約中間部ノ兩側壁及ビ腹壁ハ 稍々膨出シテー般ニ紡錘形ヲ呈シ、尾方部ハ腹側 ニ向ツテ輕度ニ屈セルモ未ず Nackenbeuge ヲ形 成スルニ至ラズ. 聽窩 (Fig. 5. B. Hg.)ハ聽胞ヲ形 成セントス. Sulcus rhombo-mesencephalicus ト 聽窩トノ範圍ニ於ケル菱腦ノ側壁及ピ腹壁ニ亙リ 初メテ 5 箇ノ Neuromeren (Fig. 5. B. Nm.1-V) 發生ス. 其ノ最頭方ノ第 1 Neuromerie ハ幅員最 モ廣ク, 尾方ノ第2乃至第5 Neuromerie ハー様 ニ何レモ細小ナリ. 本時期ニ於テ注目ス可キハ第 5 腦神經ト第7及ピ第8腦神經ノ神經節ノ發生ニ シテ令之等腦神經節ト Neuromerie トノ關係ヲ見 ルニ第5腦神經ノ Ganglion semilurare (Fig. 5. B.G.s.) ハ第2 Neuromerie ヨリ酸生シ、第7及 ビ第8脳神經ノ Ganglion acustico-faciale (Fig. 5. B. G. a. f.) ハ第 4 Neuromerieョリ發現ス. 斯ノ 如ク神經節ヲ有スル腦神經ノ中ニテ第5腦神經ト

第7及ピ第8脳神經ノ神經節ハ最モ早期ニ且期ヲ 同ジクシテ發生スルヲ知ル.



次ニ模型ノ正中斷面=就テ觀察スルニ Fig. 5. C ニ示ス如ク前腦 (Fig. 5. C. Pc.) ノ腔室ハ稍々側 方=擴張シ、頭方部側壁=於テ眼莖腔室 (Fig. 5. C. Asv.) ハ前腦腔室ト交通ス、内壁=於ケル尾方 中腦トノ境界ハ未ダ明瞭ナラズ、中腦ノ尾方ニハ Eminentia rhombo-mesencephalica (Fig. 5. C. E. rm.) 形成サレ中腦ト菱腦トノ境界ハ明瞭ナリ. 菱腦 (Fig. 5. C. Re.) ヲ見ルニ其ノ頭方部ト尾方部トノ腔室ハ比較的狭隘ナルモ約中間部ノ腔室ハ稍を側方ニ擴張シ、背壁ハ菲薄ナルモ腹壁ハ比較的肥厚シ、側壁ニハ外壁ノ Neuromeren wulst ニー致シ路凹セル 5 箇ノ Neuromeren (Fig. 5. Conm. I-V) ヲ見ル.

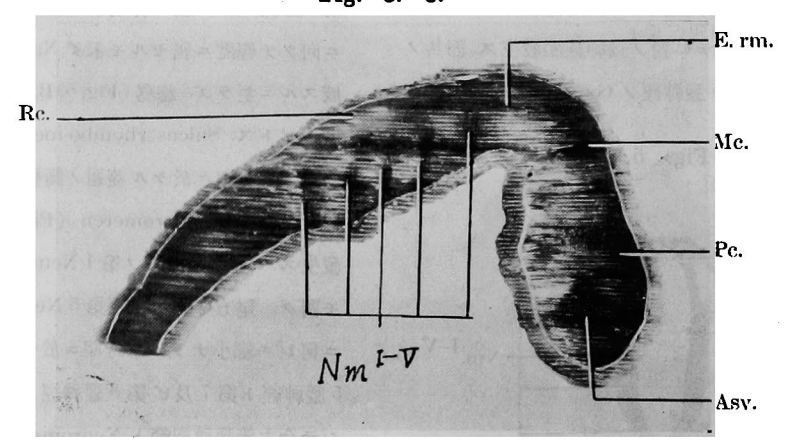


Fig. 5. C.

第 6 階梯. 胎兒番號 Nr. 109. 10 日 12 時間. 原節 (32)

一般發生狀態ノ顯微鏡的所見

視器ヲ見ルニ眼胞腹壁ハ僅ニ陷凹シテ眼盃ヲ形 成セントスル兆ヲ示シ, コノ前方ニ於ケル外胚葉 ハ肥厚シテ初メテ水晶體板ヲ形成ス. 第3 總囊發生シテ外胚葉ニ接シ,終腦ノ腹方ニ於ケル外胚葉ハ肥厚シテ1對ノ嗅板ヲ形成ス. 呼吸器ヲ見ルニ1對ノ氣管原基ハ本時期ニテ前腸ヨリ分岐ス. コノ尾方ニ於テ前腸ハ肝原基ヲ分化ス. 心臓原基ヲ

見ルニ左右心房ノ區劃明瞭ナラザルモ兩心室ノ區 割判然トシ、筋層ヨリ乳頭筋發生ス、泌尿器ヲ見 ルニ前時期ニ於テハWolff氏管ノ發生ヲ見タリシ ガ本時期ニ於テハ原腎小管ノ發生ヲ見ル.

腦部ノ顯微鏡的所見並ニ模型所見

前腦ハ本時期ニ於テ2簡ノ續發性腦胞ヲ分化ス、終腦ハ其ノ左右壁伸展シ、腔室モ左右側ニ擴張ス、間腦ハ其腹壁伸展シ、眼莖腔室ハ間腦腔室ト交通ス、中腦ヲ見ルニ其ノ頭方部橫斷面ハ Fig. G. A. Mc.)ノ如ク略ポ卵圓形ヲ呈スルモ尾方大部分ハ左右壁伸展シテ橫=短キ橢圓形ヲ呈ス、萎腦ヲ見ルニ其ノ縱斷(Frontalschnitt)面ハ Fig. G. A. Rc ノ如ク長キ橢圓形ヲ呈シ、本時期ニ於テハ6對ノNeuromerenヲ見ル、Fig. G. A. ニ於テハ第2乃至第6 Neuromerie (Fig. G. A. Nm. II-VI) 見ラレ、第1 Neuromerie ハ Fig. G. A. ノ切片ョリモ100μ頭方ノ切片ニ於テ見ラル、前時期ニ於テハ第5 腦神經ノ Ganglion semilunare, 第7及

ビ第8腦神經ノ Ganglion acustico-faciale ノ發 生ヲ見タリシガ本時期ニ於テハ第9腦神經及ピ第 10 脳神經ノ神經節發生ス. 之等腦神經節ト菱腦ノ Neuromerieトノ關係ヲ觀察スルニ第9腦神經卽チ Nervus glasso-pharyngens / Ganglion superius (Fig. 6. A. G. sp.) 六第6 Neurometie ョリ發生 ス. 第 10 脳神經卽チ Nervus vagus ノ Ganglion jugulare ハ Fig. 6. A. ノ切片ヨリモ 50 μ頭方ニ於 テ見ラレ第6 Neuromerie ヨリ尾方ノ菱腦側壁ヨ リ發生ス. 前階梯ニ於テ第 4 Neuromerie ヨリ發 生スルヲ見タリシ Ganglion acustico-faciale ハ本 時期ニ於テハ Fig. 6. A. G. af. ノ如クー層發育シ 第4 Neuromerie ト結合ス. 前階梯及ピ本階梯ニ 於ケル觀察ニヨリ脳神經節ノ發生順序ニ關シテハ 第5, 第7及ビ第8腦神經ノ神經節先ヅ發生シ, 次デ第9及ビ第10腦神經ノ神經節發生スルヲ知

次ニ模型ニ就テ觀察スルニ前時期ニ於テハ前腦

Nm. II-VI

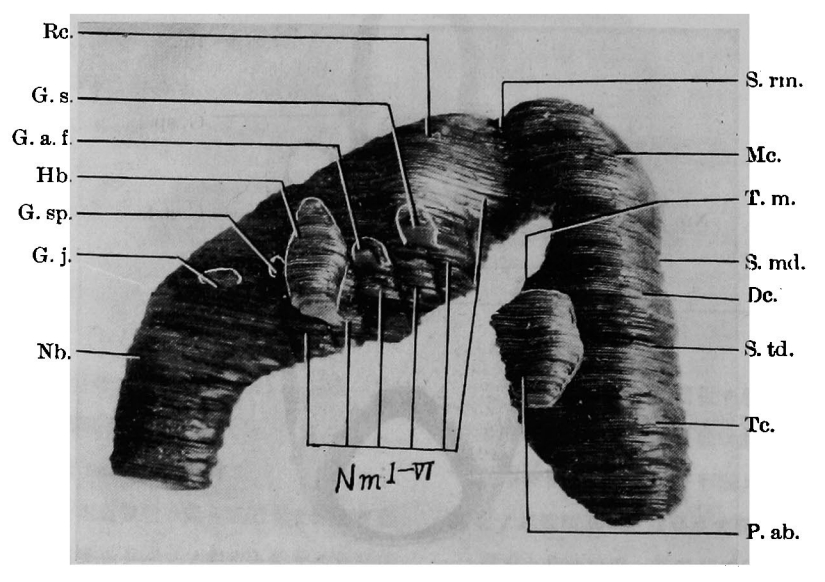
Mc.

Fig. 6. A.

ハ未ダ1 筒ノ腦胞タリシガ本時期ニ於テハ Fig. 6. B. ノ側面觀ニ示ス如ク2箇ノ續發性腦胞ノ形成ヲ 見ル、卽チ眼莖基根部ヨリ側壁ヲ經テ背壁ニ達ス ルトコロノ未ダ著明ナラザル模徑ノ Sulcus telodiencephalicus (Fig. 6. B. S. td.) 發生シ之ヲ境 界トシテ前臘ハ頭方ノ終腦ト尾方ノ間腦トヲ分化 ス. 終腦 (Fig. 6. B. Tc) ハ其ノ背壁平坦ナルモ側 壁ハ膨出シ, 腹壁又伸展ス. 間腦 (Fig. 6. B. De.) ハ終腦ニ比スレパ稍々短小ニシテ背壁ハ平出ナル モ腹壁ハ伸展シ殊ニ其ノ尾方部ハ膨出シテTuber mammillare (Fig. 6. B. T. m.) ヲ形成ス. 眼胞腹 壁ハ內方ニ向ツテ僅ニ陷凹シテ眼盃ヲ形成セント スル兆ヲ示シ、側面観ニテハ明瞭ナラザルモ眼莖 ハ前時期ヨリモー層狹窄シ且伸長ス. 中腦 (Fig. 6. B. Mc.) ~ Sulcus meso diencephalicus = = y テ間臘ニ接シ、蓍シク腹方ニ屈シテ Kopfbeuge ハ 顯著トナリ、背壁ハ比較的平坦ナルモ側壁ハ釉々 膨出シ,中腦尾端ノ Sulcus rhombo-mesencephalicus(Fig. 6. B. S. rm.)ハ著シク狹窄シテIsthmus 形成ノ兆ヲ示ス. 菱腦 (Fig. 6. B. Rc.) ハ Sulcus

rhombo-mesencephalicus ニョリテ中腦ニ接シ, 未ず1箇1腦胞ナルモ稍々頭方部1側壁及ビ腹壁 ハ膨出シテー般ニ略ボ紡錘形ヲ呈シ,尾方部ハ腹 方ニ向ツテ屈シ初メテ Nackenbeuge (Fig. 6. B. Nb.) ヲ形成シ脊髓トノ境界明瞭トナル. Sulcus _ rhombo-mesencephalicus ョリ聽胞 (Fig. 6. B. Hb.) 直後ニ亙ル範圍ノ菱腦側壁及ビ腹壁ニ6 箇 ノ Neuromeren (Fig. 6. B. Nm.I-VI.) ヲ見, 其ツ 最頭方ノ第1 Neuromerie ハ幅員最モ廣ク特有ノ Neuromerenwulst ヲ呈セザルモ, 第2乃至第6 Neuromere ハ Neuromeren wulstヲ呈シ且一樣ニ 稍々細小ナリ.第5腦神經ノ (fanglion semilunare (Fig. 6. B. G. s.) ハ第 2 Neuromerie ト結合シ, 第 7 及ビ第 8 脳神經ノ Ganglion acustico-faciale ハ 第4 Neuromerie ト結合ス. 第9及ビ第10 脳神經 ノ神經節ハ本時期ニ於テ發生ス卽チ第9腦神經ノ Ganglon superius (Fig. 6. B. G. s.) n第 6 Neuromerie ヨリ發生シ, 第 10 腦神經ノ Ganglion jugulare (Fig. 6. B. G. j.) ハ第6 Neuromerie ノ尾 方ニ於ケル菱腦側壁ヨリ發現ス.

Fig. 6. B.



次ニ模型ノ正中斷面ニ就テ觀察スルニ Fig. 6. C. ニ示ス如ク終腦 (Fig. 6. C. Tc.) ノ背壁及ビ腹壁 ハ非薄ニシテ腔室ハ側方ニ擴張ス. 間腦(Fig. 6. C. Dc.) ヲ見ルニ其ノ頭方部ノ腹壁ニ於テ眼莖腔室 (Fig. 6. C. Asv.) ハ前時期ヨリモー層狹小トナリ 間腦腔室ト交通ス. 眼莖腔室入口ノ直前ヨリ起リ 側壁ヲ經テ背壁ニ達セル未ダ著明ナラザル横徑ノ 隆起ヲ見ル之即チ Eminentia telo-diencephalica (Fig. 6. C. E. td.) ニシテ終腦トノ境界ヲナス. 腔室ハ側方及ビ腹方ニ擴張シ、背壁ハ非薄ナルモ 腹壁ハ稍々肥厚シ殊ニ腹壁尾端ハ肥厚シ腔室ニ向 ツテ陷入シテ Tuberculum posterius (Fig. 6. C. T. p.) ヲ形成シ、 コノ頭方部ハ腹方ニ陷凹シテ Recessus mammillaris (Fig. 6. C. R. m.) ヲ形成 ス. Tuberculum posterius ョリ起リ剛墜ヲ經テ背壁ニ達スル未ダ著明ナラザル横徑ノ隆起ヲ見ル之即チ Eminentia meso-diencephalica (Fig. 6. C. E. md.)ニシテ中脳トノ境界ヲナス.中脳(Fig. 6. C. Mc.)ノ陸室ハ側方ニ擴張シ、尾方菱腦トノ間ニ於テ顯著ナル Eminentia rhombo-mesencephalica (Fig. 6. C. E. rm.) ヲ見ル. 菱脳 (Fig. 6. C. Rc.)ヲ見ルニ, 其ノ頭方部陸室ハ側方及ビ腹方ニ擴張シ、側壁及ビ腹壁=明瞭ナル6 箇ノ Neuromeren (Fig. 6. C. Nm.I-VI.)ヲ見ル其ノ中最頭方ノ第1 Neuromerie ハ廣陽ナルモ第2乃至第6 Neuromerie ハ外壁ノ Neuromerenwulst ニ腹應シテ溝状ニ路凹ス.

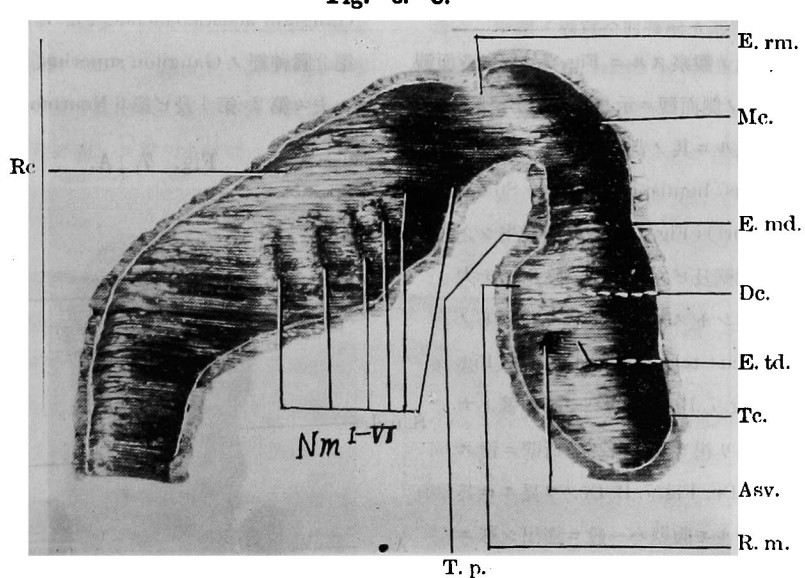


Fig. 6. C.

第7階梯. 胎兒番號 Nr. 113. 11日. 原節(36) 一般發育狀態ノ顯微鏡的所見

視器ヲ見ルニ本時期ニ於テ眼胞腹壁ハ陷凹シテ 續發性眼胞即チ眼盃ヲ形成シ,水晶體板ハ--層肥 厚ス、前時期ニ於テハ1對ノ第3鰓嚢ノ殺現ヲ見 タリシガ本時期ニ於テハ第4鰓嚢發生ス、氣管枝 幹ハ左右側ニ向ツテー層伸長ス、心原基ヲ見ルニ本時期ニ於テ初メテ房間障發生シ、心乳頭筋一層發育ス、消化器系ヲ見ルニ胃原基ハ稍々膨大シ、コノ稍々尾方ニ於テ背部隊原基ハ背右方ニ膨出シ、腹部隊原基ハ前腸腹壁ヨリ左右1對ノ當狀膨出トシテ初メテ發生シ、肝原基ハ幼若ナル Zellbalken

ヲ形成ス.

腦部ノ顯微鏡的所見並ニ模型所見

終腦腔室ハ著シク左右側=擴張シ、間腦腔室ハー般=腹方=向ツテ擴張シ、眼莖腔室ハ前時期ョリモ狭小トナリ間腦腔室ト交通シ、腹壁尾方部ノ内側=於テ Recessus mammillaris ハ腹方=陷凹シ、腹壁尾端ノ Tuberculum posterius ハ腔室=向ツテ隆起ス・中腦ヲ見ルニ共ノ背壁内側ノ正中部= Sulcus dorsalis mesencephali,腹壁内側ノ正中部= Sulcus ventralis mesencephali 夫々發生シ此兩者ヲ中心トシテ中腦ノ兩側壁ハ膨出シ横斷面ノ形状ハ横=短キ橢圓形ヲ呈ス・菱腦ヲ見ルニ共ノ腹壁内側ノ正中部=於テ Sulcus longitu dinalis centralis rhombencephali 明瞭ニシテ側壁及ビ腹壁=於テハ前時期ト同様=6對ノ Neuromeren ヲ見ル・

次ニ模型ニ就テ觀察スルニ Fig. 7. A.ノ背面觀 及ビ Fig. 7. B. ノ側面観ニ示ス如ク先ヅ終腦(Fig. 7. A. Tc.) ヲ見ルニ其ノ背壁正中部ニ初メテ 矢狀徑ノ Sulcus hemisphäricus (= Sulcus sagittalis cerebri) (Fig. 7. A. S. h.) 發生シ之 ヲ基準トシテ背壁及ビ左右側壁ハ膨出シテ大 腦半球ヲ形成セントスル兆ヲ呈ス. 間腦トノ 境界ヲナス Sulcus telo-diencephalicus (Fig. 7. A. S. td.) (Fig. 7. B. S. td.) ハー層顯著トナ リ眼莖基根部ヨリ起リ側壁ヲ經テ背壁ニ達ス 間腦(Fig. 7. A. Dc, Fig. 7. B. Dc.) ヲ見ルニ其 ノ背壁ハ平坦ナルモ腹壁ハー般ニ膨出シ殊ニ 其ノ頭方部ハ膨出シテ初メテ Infundibulum (Fig. 7. B. I.) ヲ形成シ, 腹壁尾方部ノ Tuber mammillare (Fig. 7. B. T. m.) 又膨出シテ菱 腦腹壁ト相對ス、眼胞ハ其ノ腹壁陷凹シテ眼 盃 (Fig. 7. B. Abe.) ヲ 形成シ且眼裂 (Fig. 7. B. Asp.) ノ發生ヲ見ル. 間腦尾端ノ Sulcus meso-diencephalicus (Fig. 7. A. S. md, Fig.

7. B. S. md.) ハー層著明トナリ中腦トノ境界明瞭 ナリ. 中腦(Fig. 7. B. Mc.) ハ著明ナル Kopfbeuge ヲ呈シ、頭方部ノ背壁及ビ腹壁ハ平坦ナルモ尾方 部ノ背壁及ビ兩側壁ハ膨出ス. 中腦尾端ノ Sulcus rhombo-mesencephalicus ハ著シク狹窄シテ菱腦 トノ間 = Isthmus (Fig. 7. B. Is.) ヲ形成ス. 菱腦 (Fig. 7. B. Rc.) ヲ見ルニ未ダ1箇ノ腦胞ナルモ腹 壁頭方部ハ膨出シテ Brückenbeuge ヲ形成セント シ、側面棚ニテハ明瞭ナラザルモ背壁ハ蓍シク陷 凹シテ Fossa rhomboidea ヲ形成ス. 側壁及ビ腹 壁ニ於テハ前時期ト同様ニ 6 箇ノ Neuromeren (Fig. 7. B. Nm.I-VI.) 見ラレ, 之等ト膼神經ノ神 經節トノ關係ニ就テハ前階梯ニ於テ詳細ニ述ベシ 如ク本時期ニ於テモ第5腦神經ノ Ganglion semilunare (Fig. 7. B. G. s.), 第7及ピ第8腦神經ノ Ganglion acustico faciale(Fig. 7. B. G. a. f.) 及ビ 第9腦神經ノ Ganglion superius(Fig. 7.B. G.sp.) ハ夫々第2, 第4及ビ第6 Neuromerie ト結合シ,

Fig. 7. A.

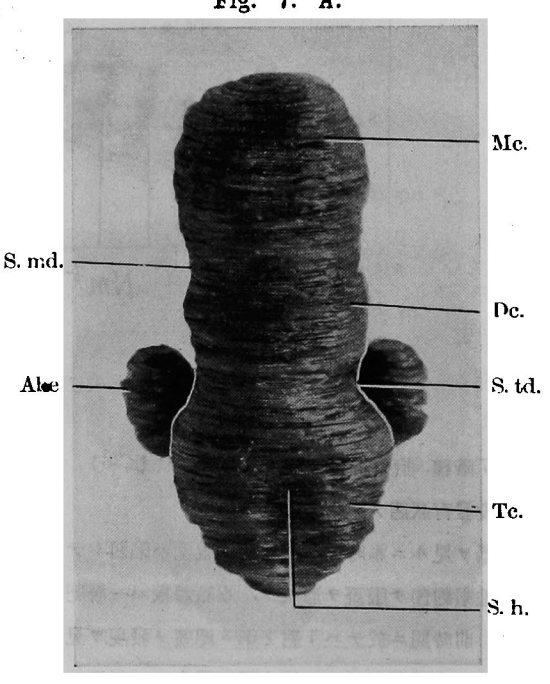


Fig. 7. B. Is Rc. G. s. Mc. G. a. f. T. m. Hb. S. md. - G. sp. Dc. G. j. S. td Abe. Tc. Nm 1-V Asp. I.

第10腦神經ノ Ganglion jugulare (Fig. 7. B. G. j.) ハ第 6 Neuromerie ノ尾方ノ菱臘側壁ト結合シNeuromeren トハ關係ヲ有セズ・哺乳類殊=家兎菱臘ノNeuromerenzahl=開シテハ前階梯及ビ本階梯=於テモ6對ヲ觀察シ、著者ノ囊=研究セシ鳥類(十姉妹及ビ燕)=於ケル結果ト全ク一致ス

第8 婚梯. 胎兒番號 Nr. 124. 12日. 原節 (46) 一般發育狀態 / 顯微鏡的所見

前々時期ニ於テ發生セシ嗅板ハ本時期ニテハ陷 凹シテ嗅窩ヲ形成ス. 視器ヲ見ルニ眼盃ハ著シク 陷凹シ, 水晶體板ハ本時期ニ於テ水晶體胞ヲ形成 シ, 眼裂ハ癒合シテ閉鎖セントス. 氣管枝幹ハー 層伸長スルモ未ず Bronchus ヲ分化セズ. 原腎ハ 其ノ長サ 1580 μニ亙リ Wolff 氏管ハ内腔廣濶ト ナリ原腎小管ハ其ノ數ト迂曲ノ度ヲ増ス.

腦部ノ顯鏡的所見並ニ模型所見

終腦ヲ見ルニ前階梯ニ於テ初メテ發生セシ背壁 正中部ノ Sulcus hemisphäricus ハ本時期ニ於テ 一層顯著トナリ,之ヲ基準トシテ背壁及ビ兩側壁 ハ背側方ニ膨出シ,腔室モ背側方ニ擴張ス. 間機 ヲ見ルニ其ノ横斷面ノ形狀ハ長徑ヲ背腹ニ向ケテ 橢圓形ヲ呈シ、狭隘ナル眼莖腔室ハ間腦腔室ト交 通ス・中腦ノ發育ハ前時期ト大差ナキモ背壁内側 正中部ニ於ケル Sulcus dorsalis mesencephali 及 ビ腹壁内側正中部ニ於ケル Sulcus ventralis mesencephali ハー層陷凹シ之ヲ基準トシテ兩側壁ハ 擴張シ横斷面ノ形狀ハ横ニ短カキ橢圓形ヲ呈ス・ 菱腦ヲ見ルニ其ノ頭方部ノ側壁及ビ腹壁ハ蓍シク 膨出シ、內壁ニハ前及ビ前々階梯ト同樣ニ6對ノ Neuromeren ヲ見ルモ外壁ノ Neuromeren ハ本 時期ニ於テ退化ス・

次ニ模型=就テ觀察スルニ既ニ記述セン如ク第 6階梯ニ於テ前腦ハ終腦ト間腦トヲ分化シ、本階 梯ニ於テ菱腦ハ後腦ト末腦トヲ分化シ5箇ノ續發 性腦胞全ク分立ス、今各腦胞=就テ見ルニ前時期 ニ於テ初メテ發生セシ終腦背壁正中部ノ Sulcus hemisphäricus ハ本時期ニ於テ一層著明トナリ之 ヲ挾ミテ終腦ノ背壁及ビ左右壁ハ背側方ニ膨隆シ テ略ポ球狀ヲ呈シ大腦半球 (Fig. 8. A. H.) ヲ形成 ス. Sulcus telo-diencephalicus (Fig. 8. A. S. td.) ハ顯著トナリ眼莖基根部ヨリ起リ斜徑ニ走リテ大 半球背壁尾端ニ達シ間腦トノ境界極メテ明瞭ナ

リ. 間腦 (Fig. 8. A. Dc.) ヲ見ルニ其ノ側壁ハ平坦 ナルモ背壁頭方部ハ著シク伸展シ大腦半球背壁尾 端ヲ越エテ著シク背方ニ突出シ、腹壁モ又伸展シ テー般形狀ハ背腹徑ニ略ボ橢圓形ヲ呈ス. 腹壁ニ 於テ Infundibulum (Fig. 8. A. I.) ハー層膨出シ, コノ尾方ニ於テ Tuber mammillare (Fig. 8. A. T.m.) モ又膨隆シテ後腦腹壁ト相對ス. 中腦(Fig. 8. A. Mc.) ~ Sulcus meso-diencephalicus (Fig. 8. A. S. md.)ニョリテ間腦ニ接シ, 尾端ハIsthmus (Fig. 8. A. Is.) ヲ介シテ後腦ニ接シ,頭方部背壁 ハ平坦ナルモ尾方部背壁及ビ兩側壁ハ膨出ス. 菱 腦ハ本時期ニ於テ蓍シク發育シテ後腦ト末腦トヲ 分化ス卽チ後腦 (Fig. 8. A. Mtc.) ハ頭方ノ短大ナ ル腦胞ニシテ背壁及ビ腹壁膨隆ス. 末腦(Fig. 8. A. Myc.) ハ後臘ニ比スレバ遙ニ長ク, 背壁ハ平坦ナ

ルモ腹壁頭方部ハ膨隆シテ Brückenbeuge (Fig. 8. A. Bb.) ヲ形成シ、頭方部ハ大ナルモ尾方ニ至 ルニ從ヒ漸次細小トナリ Nackenbeuge(Fig. 8. A. Nb.) ヲ經テ脊髓ニ移行ス. Neuromeren ハ本時期 ニ於テ退化シ, 聽胞(Fig. 8. A. Hb.)ノ頭方ニ於テ Ganglion semilunare (Fig. 8. A. G. s.), Ganglion acustico-faciale (Fig 8. A. G. a. f.), 聽胞ノ尾方= 於テ Ganglion superius (Fig. 8. A. 3. sp.) 及ビ Ganglion jugulare (Fig. 8. A. G. j.) 夫々發育ス. 菱腦外壁ニ於ケル Neuromerenハ 退化セルモ切 片所見ニテ既ニ述ベタル如ク内壁ニハ 6 對ノ Neuromeren ヲ見タルヲ以テ Neuromeren ハ先 ヅ外壁ノモノヨリ退化シ次デ内壁ノモノニ及ブモ ノノ如シ (Fig. 8. A.).

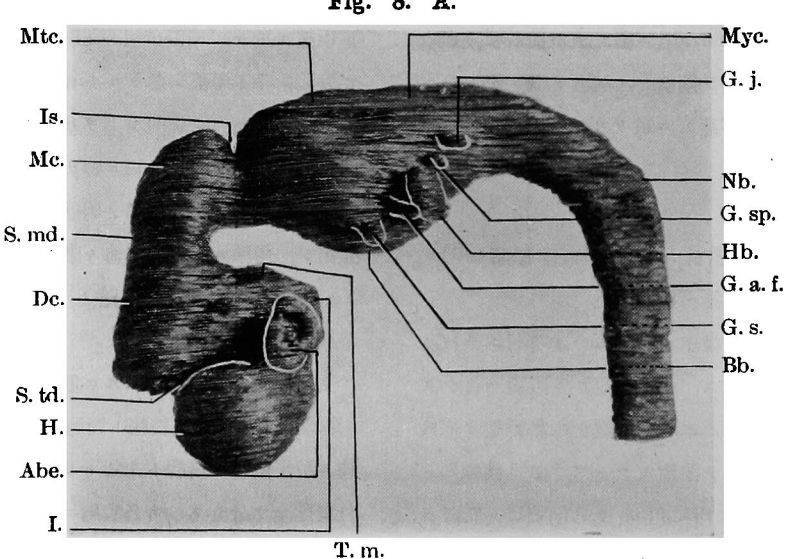


Fig. 8. A.

次ニ模型ノ正中斷面ニ就テ觀察スルニ Fig. 8. B. ニ示ス如ク大腦半球ノ腔室ハ側方ニ擴張シテ側腦 室(Fig. 8. B. Sv.) ヲ形成シ, 背壁正中部ノ尾端ハ 直角狀ニ陷入シテ Velum transversum(Fig. 8. B. V. t.) ヲ形成シ, Eminentia telo-diencephalica (Fig. 8. B. E. td.) ~ Recessus options (Fig. 8. B.

R. op.) ノ直前ヨリ起リ Velum transversum = 達セル斜徑ノ著明ナル隆起ヲ呈シ間腦トノ境界極 メテ明瞭ナリ. 間腦 (Fig. 8. A. Dc.) ヲ見ルニ共 ノ腔室ハ背腹ニ擴張シ、背壁ハ菲薄ナルモ腹壁ハ 稍々肥厚シ、腹壁頭方ニ Recessue opticus (Fig. 8. B. R. op.) ヲ見, コノ尾方ニ於テ Recessus infundibuli (Fig. 8. B. R. i.) ハ腹方=路凹シ、コノ又尾方=於テ Recessus mammillaris (Fig. 8. B. R. m.) ハ路凹シテ後腦腹壁ト相對シ、コノ尾方即チ腹壁尾端=於テ Tuberculum posterius (Fig. 8. B. T. p.) ハ間腦腔室=向ツテ鈍角狀=路入シ內壁=於ケル中腦トノ境界サナス・中腦(Fig. 8. B. Mc.) ヲ見ル=其ノ背壁ハ非薄ナルモ腹壁ハ肥厚シ、腔室ハ側方=擴張シ、尾端ハ Isthmus(Fig. 8. B. Is.) ヲ介シテ後腦=接ス・後腦(Fig. 8. B. Mtc.) ヲ見ル=其ノ背壁、側壁及ビ腹壁ハ肥厚シ、尾方部ノ側壁ハ後腦及ビ末腦縫軸=殆ド垂直=横横状=路凹シテ Recessus lateralis(Fig. 8. B. R. l.) ヲ形成シ末腦トノ境界明瞭ナリ、末腦(Fig. 8. B. Myc.) ハ Recessus lateralis ヲ介シテ後腦=接シ、電壁へ極メテ非薄ナルモ腹壁ハ肥厚シ、頭方部腔

室へ側方及ビ腹方=擴張セルモ尾方部腔室へ狭小ニシテ腹壁ニハ將=退化セントスル第 2 乃至第 6 Neuromerie (Fig. 8. B. Nm.II-VI.) ヲ見ル. 第 1 Neuromerie (Fig. 8. B. Nm.I.) ハ Recessus lateralisョリ頭方ニアリ換言セバ Isthmus ト Recessus lateralis トノ間ノ領域ニ一致シ第 2 乃至第 6 Nreuromerie ヨリモ特ニ大ニシテ且既ニ記述セシ如ク腦神經節トハ何等關係ヲ有セズ. 且後腦ノ發生スル時期ニ至リテ初メテ外壁ニ於ケル Neuromeren ハ消失シ內壁ニ於ケル Neuromeren ハ消失シ內壁ニ於ケル Neuromeren ハ消失シ內壁ニ於ケル Neuromeren ハ消失シ內壁ニ於ケル Neuromeren ハ消失シ內壁ニ於ケル Neuromerie ト後腦トハ不可分ノ關係ヲ有シ第 1 Neuromerie ト後腦トハ不可分ノ関係ヲ有シ第 1 Neuromerie ハ後腦ヲ形成スルヲ知リ、Hill (1900) 及ピ Kupffer (1903) 氏等ノ說ヲ首肯ス (Fig. 8. B.).

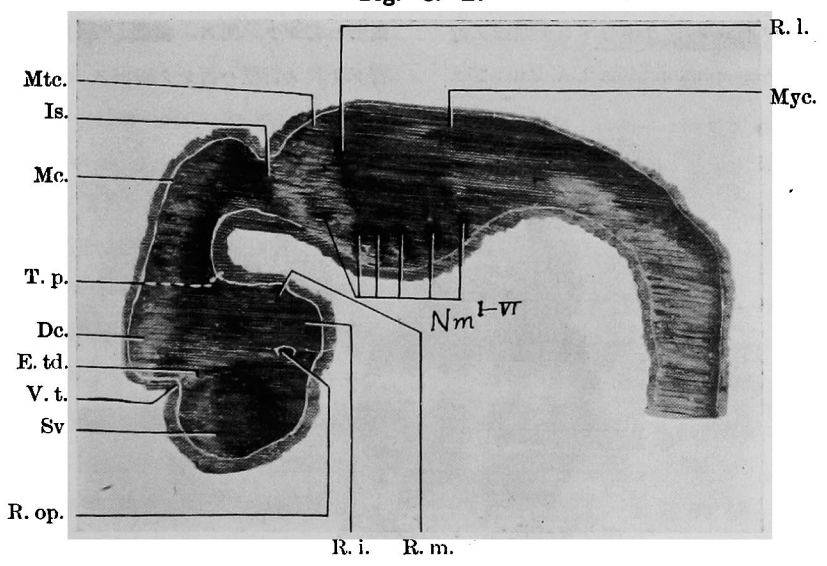


Fig. 8. B.

第9階梯. 胎兒番號 Nr. 129. 14日

一般發育狀態ノ顯微鏡的所見

嗅窩ハ本時期ニ於テ嗅養ヲ形成ス. 視器ヲ見ルニ眼盃ノ眼裂ハ閉鎖シ, 水晶體內腔ハ全ク消失シ, 眼莖ハ視神經ヲ形成セントス.聽胞ハ本時期ニ於テ häutigs Labyrinth ト Ductus endolymphaticus トヲ分化ス. 呼吸器ヲ見ルニ氣管枝幹ハBronchus ヲ分化ス. 心臓ハ心房及ビ心室共ニ擴張シ乳頭筋 酸育スルモ室間障ハ未ダ正中内皮細胞枕ト癒合ス ルニ至ラズ. 消化器系統ヲ見ルニ胃原基ハ膨大シ 筋層肥厚シ、背部及ビ腹部膵原基ハ癒合シ、肝原 基ハ Lappen ヲ形成シ Zellbalken 著シク發育ス. Wolff 氏管ハ原腎組織中ヲ體縦軸ニ平行シテ尾方ニ走リ次第ニ原腎隆起ノ側壁ニ接近シ内腔ハ廣濶トナリ多數ノ原腎小管ヲ合流セシム.

腦部ノ顯微鏡的所見並ニ模型所見

各腦胞ニ就テ觀察スルニ大腦半球ハ前時期ニ於テハ尚ホ發育幼稚ニシテ略ポ球狀ヲ呈シ間腦ノ頭方部ニョリテ覆ハレタルガ如キ觀ヲ呈セシガ本時期ニ於テハFig. 9. A. ノ背面觀及ビFig. 9. B. ノ側面觀ニ示ス如ク蓍シク發育シテ背方ニ膨出スルト同時ニ頭尾徑ヲ増シテ橢圓形ヲ呈シ間腦頭方部ヲ被覆スルニ至ル、左右大腦半球ノ膨出セルニョリテ Sulcus hemisphäricus (Fig. 9. A. S. h.) ハー層 陷凹ス、Nervus olfastorius (Fig. 9. B. N. ol.) ハ本時期ニ於テ嗅養上皮ョリ發生シ大腦半球頭方部ノ腹壁ト結合ス、間腦ヲ見ルニ背壁正中部ハ初メテ小突起状ニ膨出シテ Epiphyse (Fig. 9. A. Ep., Fig. 9. B. Ep.) ヲ形成シ, 之ヲ中心トシテ間腦ノ背壁ハ頭方ノ Parencephalon (Fig. 9. A. Pac., Fig.

9. D. Pac.) ト尾方/ Synencephalon (Fig. 9. A. Sc., Fig. 9. D. Sc.) トヨ分化ス. 之ヨ著者ノ墾ニ檢 索セシ鳥類ノ Parencephalon ト Synencephalon トニ比較スルニ哺乳類ニ於テハ鳥類程顯著ナラズ 間脳側壁ハ平坦ナルモ腹壁ハ一般ニ膨出シ殊ニ腹 壁尾方部ニ於テ Tuber mammillare (Fig. 9. B. T.m.) ハ膨出シテ後腦腹壁ト相對シ, コノ頭方ニ 於テ Infundibulum (Fig. 9. B. I.) ハ著シク膨隆 ス. 中腦 (Fig. 9. A. Mc., Fig. 9. B. Mc.) ヲ見ルニ 尾方部背壁正中部ニ初メテ矢狀徑ノ Sulcus medianus mesencephali (Fig. 9. A. S. m. m.) 發生シ 之ヲ境界トシテ背壁及ビ兩側壁ハ膨隆シテ左右ノ Lobus opticus ヲ形成セントシ、腹壁ョリハ1對 ノ Nervus oculomotorius (Fig. 9. B. N. om.) 發 生ス. Isthmus (Fig. 9. B. Is.) ハ中腦ト後腦トノ **發育ノ爲ニ抑制セラレ腹壁ハ平坦ナルモ背壁及ビ** 側壁ハ蓍シク陷凹ス. 後腦 (Fig. 9. B. Mtc.) ハ發 育シテ其ノ背壁ハ著シク膨出ス. 末腦 (Fig. 9. B.

Sc.
S. m. m.
S. md.
Mtc.

Ep.

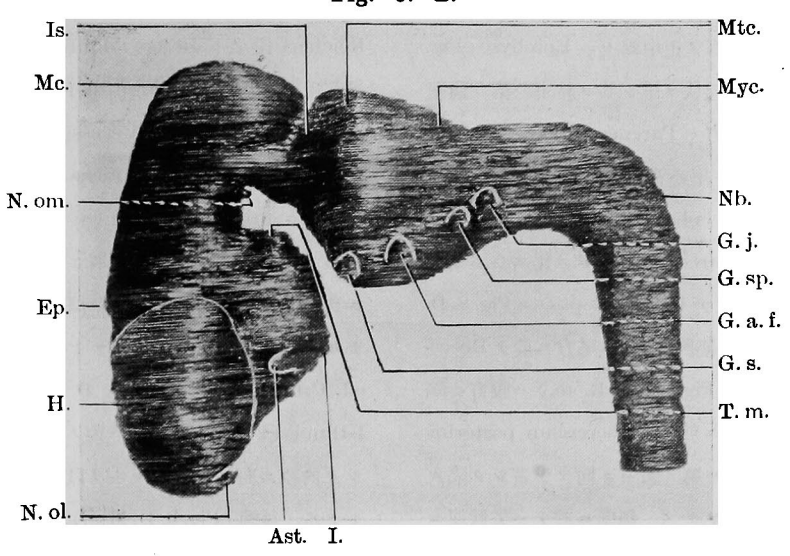
H.

Fig. 9. A.

٦.

Myc.) ヲ見ル

Fig. 9. B.



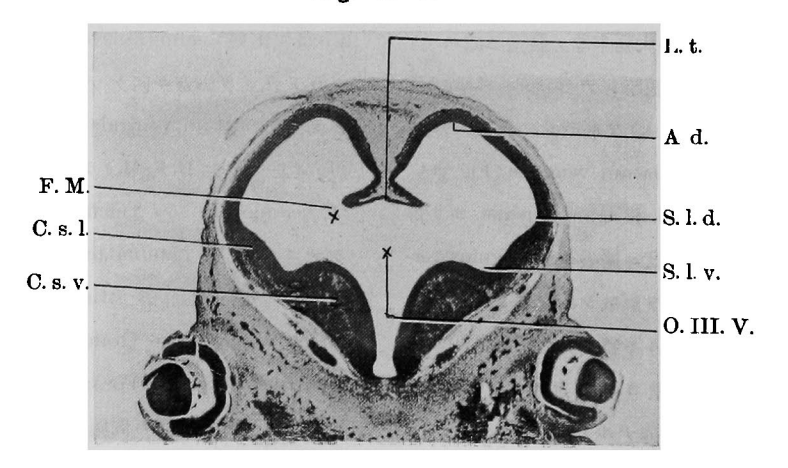
次ニ模型ノ正中断面及ビ切片ニ就キ腦部ノ内側 ヲ觀察スルニ先ヅ大腦半球ニ於テハ Corpus striatum ノ發生ヲ見、側腦室ニ於テハ Foramen Monroi ノ形成ヲ見ル卽チ Fig. 9. C. ニ示ス如ク大腦 半球內壁 = Sulcus laterodorsalis(Fig. 9. C.S. l.d.) 及ビ Sulcus lateroventralis (Fig. 9. C. S. l. v.) 發生シテ內壁ノ區劃判然トス卽チ Sulcuslaterodorsalis ヨリ背方ノ壁ハ大腦半球ノ背壁ヲナシ, Sulcus laterodorsalis = y Sulcus lateroventralis ニ亙ル壁ハ大腦半球ノ側壁ニシテ, Sulcus lateroventralis ヨリ腹方壁ハ大腦半球ノ腹壁ヲ成ス. 背 壁へ菲薄ナルモ側壁へ肥厚シテ Corpus striatum laterale (Fig. 9. C. C. s. l.) ヲ形成シ,腹壁ハ堤狀 =肥厚シテ Corpus striatum ventrale (Fig. 9. C. C. s. v.) ヲ形成ス. Sulcus laterodorsalis ヨリ背 方ノ大腦半球背壁ハ弓狀ニ擴張シテ Angulus dorsalis (Fig. 9. C. A. d.) ヲ形成シ, 之ョリ背方ノ壁 ハ大腦半球背壁ニ屬スルモ特ニ大腦半球ノ mediale Wand トシテ背壁ョリ區別サレ, mediale Wand ノ末端ハ極テ菲薄ナル Lamina terminalis (Fig. 9. C. L. t.) ト結合ス. 側腦室ハ橫斷面ニテハ

側背方ニ擴張シ、 Corpus striatum ventrale ハ 腔室ニ向ヒ隆起シテ Lamina terminalis ニ接シ兩 者相俟チテ Foramen Monroi (Fig. 9. C. F. M.) ヲ形成シ, 之ヲ介シテ側腦室ハ Orales Ende des dritten Ventrikels (Fig. 9. C. O. III. V.) ト交通 ス. 模型ノ正中斷面ニ就テ見ルニ Fig. 9. D. -示ス如ク Corpus striatum ventrale (Fig. 9. D C.s.v.)ハ切片所見ニ於テ述ベタル如ク大腦半球腹 壁ヨリ發生シテ堤狀ニ肥厚シ, Laminaterminalis (Fig. 9. D. L. t.) A Recessus opticus (Fig. 9. D. R. op.) # Velum transversum(Fig. 9. D. V. t.) ニ亙リ凸側ヲ頭方ニ向ケテ弓狀ニ彎曲シコレト Corpus striatum ventrale ハ相俟チテ Foramen Monroi (Fig. 9. D. F. M.) ヲ形成ス. 左右大腦半球 / medialer Teil / Telencephalon medium = シテコノ背壁ハ Lamina terminalis ヨリ成リ、腹 壁及ビ側壁ハ Corpus striatum ventrale ヨリ成 ル而シテ其ノ腔室ハ Orales Ende des dritten Ventrikels ヲ形成シ Foramen Monroi ヲ介シテ 側腦室ト交通ス. 次ニ間腦ノ内側ヲ見ルニ其ノ腔 室ハ背腹徑ニ擴張セルモ側壁ハ蓍シク肥厚セルヲ

以テ左右徑ハ蓍シク狹隘トナリテ第3腦室ヲ形成 ス. 背壁ノ約中央部ノ正中線上= Epiphyse (Fig. 9. D. Ep.) ハ小突起状ヲ呈シ其ノ腔室ハ第3腦室 ト交通シ、コノ頭方ハ Parencephalon (Fig. 9. D. Pac.) ニシテ其ノ腔室ハ背方ニ擴張シ、Epiphyse ノ尾方ニハ Synencephalon (Fig. 9. D. Sc.) ヲ見 ルモ其ノ發育ハ Parencephalon = 比スレバ幼稚 ナリ. 腹壁頭方ニ於テ Recessus opticus(Fig. 9. D. R. op.) ハ側腹方ニ路凹シ,コノ尾方ニ於テ Recessus mammillaris (Fig. 9. D. R. m.) ハ腹方=陷 凹シ、コノ又尾方ニ於テ Tuberculum posterius (Fig. 9. D. T. p.) ハ第 3 脳室ニ向ツテ著シク陷入 シテ中脳トノ境界ヲナス. 側壁ニ於テハ矢狀徑ニ 走行スル弧狀ノ溝狀陷凹ヲ見ルコレ卽チ Sulcus hypothalamicus或ハ所謂His氏ノSulcus limitans (Fig. 9. D. S. ht.) ニシテ挿圖ニ於テハ稍々明瞭ナ ラザルモ Foramen Fonroi ノ入口ョリ起リ間腦側 壁ヲ經テ尚ホ尾方ニ走行ス. His 及ビ Johnston 氏ニョレバ Sulcus hypothalamicus ハ2ッノ合 流ョリ成リ其ノ支流ハ Foramen Monroi ヨリ起

ルモ主流へ Recessus options ヨリ起ルト云ヒ, Reichert 氏ハ Foramen Monroi ノミヨリ起ルト 云ヒ氏ハ之ヲ Sulcus Monroi ト命名セリ. 著者ハ Foramen Monroi 及ビ Recessus opticus ョリ起 レルヲ見ルモ Recessus opticus ヨリ出發セルモノ ハ途中ニテ中絶シテ Foramen Monroi ヨリ起レ ルモノニ合流スルヲ見ズ. 次ニ中脳ノ内側ヲ見ル ニ其ノ腔室ハ側方及ビ尾方ニ擴張シ、背壁ハ菲薄 ナルモ腹壁ハ堤狀ニ肥厚シテ Pedunculus cerebri od. Crura eerebri (Fig. 9. D. P. cb.) ヲ形成ス Isthmus (Fig. 9. D. Is.) ハ其ノ背壁及ビ側壁ハ著 シク内腔ニ向ツテ隆起セルヲ以テ其ノ腔室ハ狹隘 トナル. 後腦 (Fig. 9. D. Mtc.) ノ内側ヲ見ルニ其 ノ背壁及ビ側壁へ肥厚シテ小腦形成ノ兆ヲ示シ、 腹壁モ又肥厚シテ Pons ヲ形成セントシ,末腦ト ノ境界タル Recessus lateralis (Fig. 9. D. R. l.)ハ 横徑ニ深溝狀ヲ呈ス. 末腦 (Fig. 9. D. Myc.) ノ背 壁ハ極メテ菲療ナルモ側壁及ビ腹壁ハ著シク肥厚 シ,其ノ腔室ハ蓍シク左右徑ヲ知縮シテ後腦腔室 ト共ニ第4脳室ヲ形成ス.

Fig. 9. C.



Is. Mtc. Mc. Myc. P. cb. T. p. Sc. Ep. S. ht R. l. Pac. V. t. F. M. J., t. Η. N. ol. C.s.v. R.op. R.i. R.m.

Fig. 9. D.

第10階梯. 胎兒番號 Nr. 132. 16日 一般發育狀態ノ顯微鏡的所見

成器ヲ見ルニ水晶體ハ外層ノ上皮ト内部ノ繊維層判然トシ、 際器ハ häutiges Jabyrinth 及ピDucutus endolymphaticus 共ニー層發育ス. 心臓原基ハ其ノ房間障及ピ室間障ハ全ク内皮細胞枕ト癒合シ、房室瓣發生シ、筋層ハ著シク肥厚シ、乳頭筋ハ錯走シテ網眼狀ヲ呈ス. 肺原基ハ多數ノBronchus ヲ分化シ且 Lappen ヲ形成ス. 胃原基ハ筋層著シク肥厚シ胃粘膜發生ス. 泌尿器系ヲ見ルニ原腎小管ハ著シク其ノ數ヲ増シ、コノ尾背方ニ於テ後腎發育シ造後腎組織ハ細尿管ヲ形成ス.

腦部ノ顯微鏡的所見並ニ模型所見

本階梯ニ於テハ各腦胞著シク發育シ大腦半球ハ Rinencephalon 及ビ Hippocampus ヲ分化シ、側 腔室ニ於テハ Plexus chorioideus 發生ス・間腦ニ 於テハ Thalamus 發生シ、中腦ハ Lobus opticus ヲ分化シ、後腦ハ小腦及ビ Pons ヲ、末腦ハ延髓 ヲ形成シ、第4腦室ニハ Plexus chorioideus 發 生ス・今各腦胞ヲ仔細ニ觀察スルニ大腦半球ハ前 階梯ニ於テハ精圓形ヲ呈シ間腦頭方部ヲ被覆セシ

ガ本時期ニ於テハ Fig. 10. A. H. ノ如ク著シク頭 方及ビ尾方ニ向ツテ伸展シ頭尾徑ヲ増シ且尾方部 ハ腹方ニ膨出シ, 尖端ヲ頭方ニ向ケ Lateromedial ニ稍々扁平ナル卵圓形ヲ呈シ間腦ノ大部分ヲ被覆 スルニ至ル. 大腦半球頭方部腹壁ハ肥厚スルト同 時二頭方ニ伸展シテ略ポ圓錘形ヲ呈シ Rinencephalon (Fig. 10. A. Ric.) ヲ分化シ、Nervus olfactorius (Fig. 10. A. N. ol.) ハ嗅嚢上皮ョリ起リ Rinencephlon ノ腹壁ト結合ス. 間脳ヲ見ルニ左 右ノ大腦半球間ニ介在シ腹壁ノ一部ヲ除ケル大部 分ハ大腦半球ニョリテ被覆サレ、背壁正中線上ニ 於ケル Epiphyse (Fig. 10. A. Ep.) ハ Parencephalon ノ伸展ノ爲ニ尾方ニ移位シ、側壁ハ平坦 ナルモ腹壁ハ蓍シク膨出シ間隙ヲ距テテ Pons ト 相對シ,腹壁頭方部ニ於テ眼莖ハ Nervus opticus (Fig. 10. A. N. op.) ヲ形成シ, コノ尾方ニ於テ Infundibulum (Fig. 10. A. I.) ハ著シク膨出シ, 腹 壁尾端部ニ於テ Tuber mammillare (Fig. 10. A. T. m.) ハ膨隆シテ中腦腹壁ト相對ス. 中腦ヲ見ル -側面觀ニテハ明瞭ナラザルモ背壁正中線ニ於ケ ル矢状徑ノ Sulcus medians mesencephali ハ前 時期ヨリモ顯著トナリ之ヲ境界トシテ中腦ノ背壁及ビ側壁ハ著シク側尾方=膨出シテ1對ノ Lobus opticus (Fig. 10. A. L. op.) ヲ形成シ,腹壁=於テハ前時期=於テ發生セシ Nervus oculomotorius ヲ見ル. 腦ノ Morphogenese =闘シ此處=附記スベキハ哺乳類殊=家死ノ Lobus opticus ハ左右徑ョリモ前後徑長クシテ略ボ橢圓形ヲ呈スルモ著者ノ曩=檢索セシ鳥類(十姉妹及ビ燕)ノソレハ左右徑ト前後徑トハ殆ド相等シクシテ球狀ヲ呈シ,且哺乳類ノ Lobus opticus ハ鳥類ノソレ程著大ナ

ラザルコト之ナリ. Isthmus (Fig. 10. A. Is.) ハ I.obus opticus ノ尾方部ニョリテ覆ハレ、著シク狭窄ス. コノ直後ニ於テ後腦ノ背壁及ビ側壁ハ腦縦軸ニ横堤狀ニ膨隆シテ Cerebellum (Fig. 10. A. Cb.) ヲ形成ス. 末腦ヲ見ルニ共ノ背壁ハ平坦ナルモ腹壁ハ著シク膨隆シテ Brückenbeuge (Fig. 10. A. Bb.) ハ極メテ顯著トナリ、追テ内面觀ニ於テ述ベル如ク腹壁及ビ側壁ハ著シク肥厚シテ延髓ヲ形成シ、コノ尾端ハ直角狀ニ屈セル Nackenbeuge (Fig. 10. A. Nb.)ヲ經テ脊髓ニ移行ス.

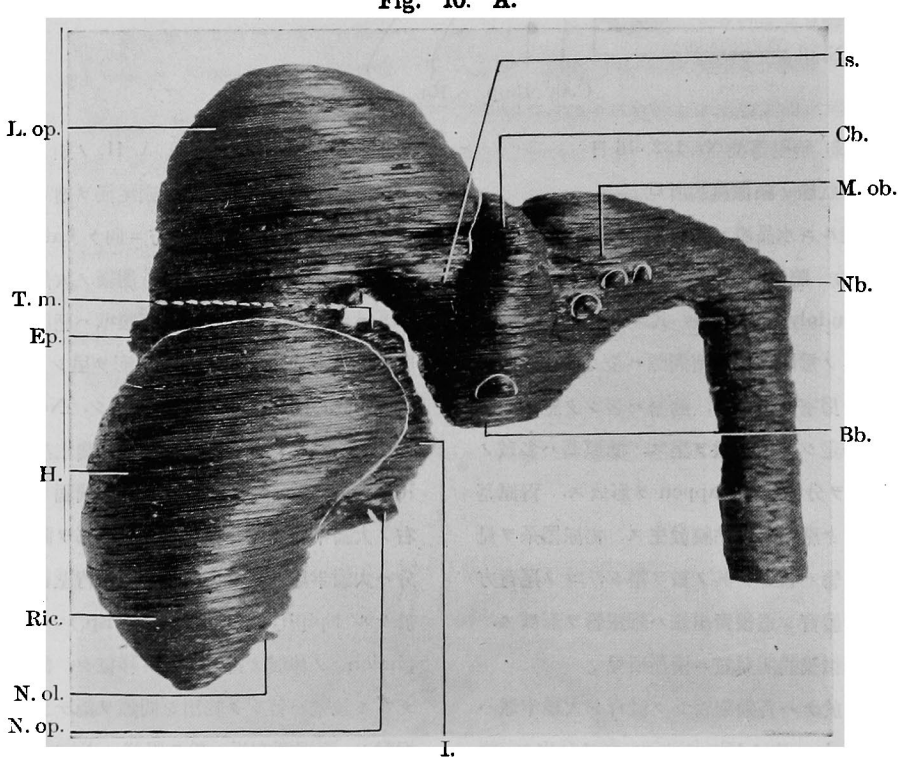


Fig. 10. A.

次=模型ノ正中斷面及ビ切片=就キ腦部ノ內側ヲ觀察スル=大腦宇球ハ本時期=於テ Hyppocampus ヲ形成シ、側腦室=ハ Plexus chorioideusノ發生ヲ見ル即チ Fig. 10. B. ニ示ス如ク大腦宇球背壁末端部ニ於ケル Angulus dorsalis(Fig. 10. B. A. d.)ト Sulcuslis limitans hippocampi (Fig.

10. B. S. l. h.) トノ間ニ於ケル大腦半球ノ mediale Wand ハ肥厚シ側腦室ニ向ヒ隆起シテ Hippocampus (Fig. 10. B. Hc.) ヲ形成シ, 之ニ準ジテ該部ノ外壁ハ路凹シテ Fissura hippocampi (Fig. 10. B. F. hc.) ヲ形成ス. 側腦室ニハ Plexus chorioideus des Seitenventrikels (Fig. 10. B. P. ch. Sv.)

ヲ見ル之ハ Lamina terminalis 頭端ノ Velum transversum ョリ發生スルモノノ如シ卽チ前階梯ニ於ケル Velum transversum (Fig. 9. D. V. t.)ハ Orales Ende des dritten Ventrikelsニ向ッテ陷入セルニ過ギザリシガ本時期ニ於テハ側方ニ向ッテ伸長シ側腦室ニ進入セルヲ以テナリ. 而シテ其ノ組織ハ内層ト周闡層トヨリ構成セラレ内層ハ Mesenchym ョリ成リ Gefässreich ニシテ周闡層ハ非薄ニシテ内層ヲ顕繞シ腦組織ヨリ成ル. Lamina terminalis ハ本時期ニ於テ左右大腦半球ノ mediale Wand ノ中間ニ向ッテ膨出シテParaphyse (Fig. 10. B. Pa.) ヲ形成シ、Corpus

striatum laterale (Fig. 10. B. C. s. l.) ハ前時期ヨリモ肥厚シ殊ニ Corpus striatum ventrale (Fig. 10. B. C. s. v.) ハ肥厚シテ Lamina terminalisニ接近セルヲ以テ Eoramen Monroi (Fig. 10. B. F. M.) ハ極メテ狭隘トナリテ間隙狀ヲ呈シ,之ヲ介シテ側腦室ハ Orales Ende des dritten Ventrikelsト交通ス. 斯ノ如ク Corpus striatum ハ肥厚セルモ Sulcus laterodorsalis (Fig. 10. B. S. l. d.)ヨリ Angulus dorsalis (Fig. 10. B. A. d.)ニ巨ル大腦半球背壁ハ非薄ニシテ Pallium (Fig. 10. B. Pl.)ヲ形成ス.

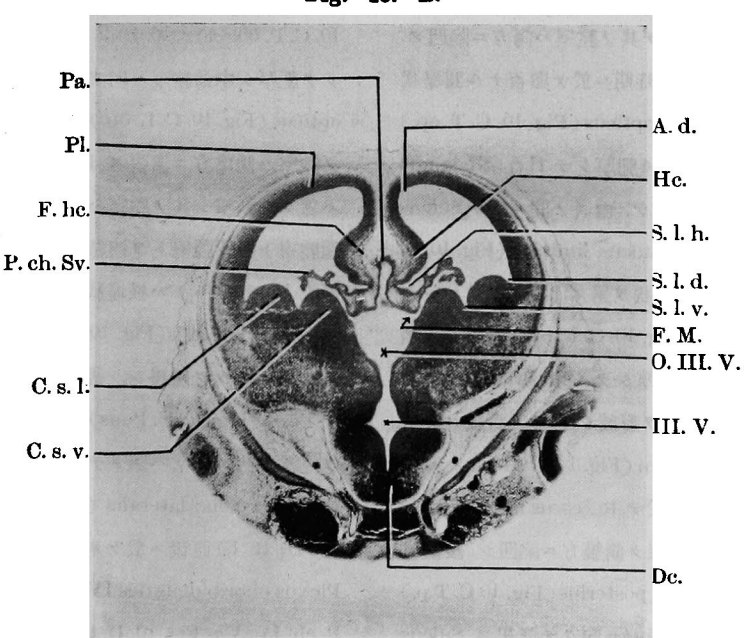


Fig. 10. B.

模型ノ正中斷面=就テ觀祭スルニ Fig. 10. C. ニ 示ス如ク大腦半球ノ mediale Wand ハ矢狀徑ニ 溝狀=陷凹スコレ卽チ Fissura hippocampi (Fig. 10. C. F. hc.) ニシテ此部ノ內壁ハ切片所見ニ於チ 述ベタル Hippocampusニー致ス. Telencephalon medium ハ大腦半球ノ著シキ發育ノ為ニ抑制サレ 狭小ナル領域トシテ留マリ其ノ背壁ハ Lamina terminalis (Fig. 10. C. L. t.) ヨリ成リ、側壁及ビ腹壁ハ Corpus striatum ventrale(Fig. 10. C. s. v.) ヨリ成リ、其ノ陸室ハ即チ Orales Ende des dritten Ventrikels ナリ. Corpus striatum ventrale ハ蓍シク肥厚シ追テ述ブル間腦ノ Thalamus opticus (Fig. 10. T. op.) ノ頭方部ト結合スルニ至ルヲ以テ Foramen Monroi (Fig. 10. B. F. M.)ノ

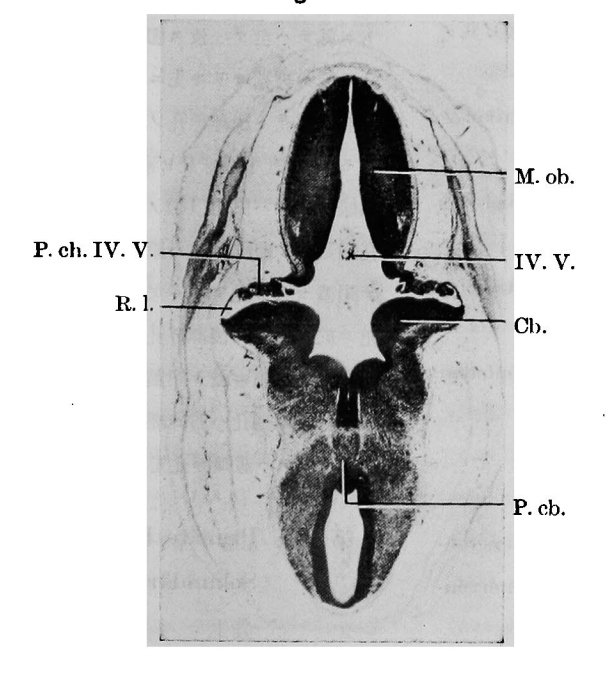
周壁ハ Corpus striatum ventrale, Thalamus opticus 及ビ Lamina terminalis ノ 3 部分ョリ構成セラレ著シク狹隘トナリ之ヲ介シテ側腦室ハ Telencephalon medium ノ Orales Ende des dritten Ventrikelsト交通ス. Velumtransversum (Fig. 10. C. V. t.) ハ側方=向ッテ伸長シ側腦室= 進入シ切片所見=於テ述ペタル Plexus chorioideus des Seitenventrikels ヲ形成ス.

間腦ノ內側ヲ見ルニ Parencephalon(Fig. 10 C. Pac.)ハ尾方ニ向ツテ伸展シ其ノ腔室ハ矢狀徑ニ溝 狀ヲ呈シ, Epiphyse (Fig. 10. C. Ep.) ハ Parencephalon ノ伸展ノ爲ニ尾方ニ移位シ其ノ腔室ハ 第3腦室ト交通シ, コノ尾方ハ Synencephalon (Fig. 10. C. Sc.) ニシテ其ノ腔室へ側方ニ路凹ス. 間腦ノ側壁背方部ハ本時期ニ於テ顯著ナル圓堤狀 ニ肥厚シテ Thalamus opticus (Fig. 10. C. T. op.) ヲ形成シ、側壁腹方部モ肥厚シテ Hypothalamus (Fig. 10. C. Ht.) ヲ形成シ、兩者ノ間ニ於テSulcus hypothalamicus od. Sulcus limitans (Fig. 10. C. S. ht.) ハ顯著ナル縱溝狀ヲ呈ス. 腹壁頭端ニ於テ Recessus opticus (Fig. 10. C. R. op.) ハ側方=陷 凹シコノ直後ハ著ク肥厚シテ Chiasma opiticum (Fig. 10. C. C. op.) ヲ形成シ、コノ直後ニ於テ Recessus infundibulum (Fig. 10. C. R.i.) ハ漏斗 狀ヲ呈シ、コノ尾方ニ於テ Recessus mammillaris (Fig. 10. C. R. m.) ハ深ク側腹方ニ陷凹シ, 腹壁尾 端ニ於テ Tuberculum posterius (Fig. 10.C. T.p.) ハ著シク肥厚シテ第3腦室ニ向ツテ隆起ス Suleus hypothalamicus 或ハ His 氏ノ所謂 Sulcus limitans ハ前階梯ニ於テハ Foramen Monroi ヨリ出 發シ間惱側壁ヲ經テ尚ホ尾方ニ走行シ、Recessus opticus ヨリ出發セルモノハ途中ニテ中絶シForamen Monroi ヨリ出發セルモノニ合流セザリシガ 本時期ニ於テハ Fig. 10. C. S. h. ノ如ク極メテ明 瞭トナリ Recessus opticus ヨリ起リ Thalamus

opticus ト Hypothalamus トノ間ヲ經テ尚ホ尾方 ニ走行シ, 前階梯ニ於テ見タル Forament Monroi ョリ起レルモノハ本時期ニ於テハ Thalamus opticus ノ發生ニヨリ稍々不明瞭トナルモ Foramen Monroi ノ入口ョリ出發シ Thalamus opticus ト Corpus striatum ventrale トノ間ヲ經テ Recessus opticus ヨリ出發セルモノニ合流スルヲ見ル. 卽 チ Reichert 氏ノ Foramen Monroi ノミヨリ起ル ト云へル説ニ反スル結果ヲ見、 支流ハ Foramen Monroi ヨリ起ルモ主流ハ Recessus opticus ヨリ 起ルト云へル His 及じ Johnston 氏ノ説ニー致 セ ル結果ヲ見タリ. 次ニ中腦ノ内側ヲ見ルニ其ノ腹 壁 / Pedunculus cerebri od. Crura cerebri (Fig. 10. C. P. cb., Fig. 10. D. P. cb.) ハ前時期ヨリモ著 シク肥厚シ中腦腔室ニ向ツテ堤狀ニ隆起シ,Lobus opticus (Fig. 10. C. L. op.) ノ背壁ハ菲薄ニシテ其 ノ腔室へ側尾方ニ擴張ス. Isthmus(Fig. 10. C. Is.) ハ蓍シク狹窄シ其ノ腔室ハ狹隘ナル溝狀ヲ呈シ中 腦腔室ト第4腦室トヲ連結ス. 小腦(Fig. 10.C.Cb., Fig. 10. D. Cb.) ハ横堤狀ニ肥厚シ第4脳室及ビ Recessus lateralis(Fig. 10.C.R.l., Fig. 10.D.R.l.) ニ向ツテ蓍シク隆起シ、後腦腹壁ハ蓍シク肥厚シ テ Pons (Fig. 10. C. Pons) ヲ形成ス. 末脳ノ内側 ヲ見ルニ其ノ背壁ハ極メテ菲薄ニシテ其ノ頭方部 創チ Recessus lateralis (Fig. 10. C. R. l., Fig. 10 D. R. l.) 直後ニ於ケル背壁ハ叢狀ニ内飜シテ Plexus chorioideus des IV. Ventrikels (Fig. 10.C. P. ch. IV. V., Fig. 10. D. P. ch. IV. V.) ヲ形成ス. 其ノ組織ハ既ニ述ベタル Plexus chorioideus des Seitenventrikels ノソレト同様ニ内層ト周圍層ト ニヨリ構成セラレ内層ハ Mesen chym ヨリ成リ Gefässeich ニシテ周圍層ハ菲薄ニシテ腦織組ョリ 成ル、末臘ノ腹壁ハ著シク肥厚シ側壁ト共ニ延髓 (Fig. 10. C. M. ob.) ヲ形成ス. 第 4 腦室ハ Frontal schnitt ニ於テハ Fig. 10. D. IV. V. ノ如ク Reces-

Fig. 10. C. L. op. Ch. P.ch. IV.V. Sc. Nb. Ep. Pac. M. ob. F. hc. C. c. V. t. R.l. F. M. R.i. R.m. L. t C. s. v. R.op. C.op.

Fig. 10. D.



sus lateralis ガ左右側 ニ擴張セルタメニ略ボ 十字形ヲ呈シ,模型ノ 正中斷面ニ於テモ頭方 部陸室ハ Recessus lateralis ニ順應シテ側方 ニ擴張セルモ之ヨリ尾 方ニ至ルニ從ヒ漸次狹 陸トナリNackenbeuge ヲ經テ脊髓ノ Canalis centralis (Fig. 10. C. C. c.) =移行ス.

第4章 總括及ビ考察

前章各家兎胎兒ニ於ケル腦發生ノ觀察ヲ次ノ 6 節ニ分チテ總括シ且從來ノ業績並ニ著者ノ曩ニ發 表セシ鳥類(十姉妹及ピ燕)ニ於ケル研究成績ト比 較考察セントス

- 第1節 Neuroporus anterior ト Neuroporus posterior ノ閉鎖ノ時期的關係
- 第2節 Primäre Hirnbläschen 及ビ Sekundäre Hirnbläschen ノ發生
- 第3節 Sekundäres Hirnbläschen ノ境界
 - 其 1 Telencephalon-Diencephalongrenze.
 - 其 2 Diencephalon-Mesencephalongrenze.
 - 其 3 Mesencephalon-Rhombencephalongrenze.
 - 其 4 Metencephalon-Myelencephalongrenze.
 - 其 5 Rhombencephalon Rückenmarksgrenze.
- 第4節 Sekundäre Hirnbläschen 及ビ其ノ Ventrike ノ發育
 - 其1 Telencephalon 及ビ其ノVentrikelノ 發育
 - 其² Diencephalon 及ビ其ノVentrikel ノ酸
 - 其 3 Mesencephalon 及ビ其ノ Ventrikelノ **教育**
 - 其 4 Metencephalon 並 = Myelencephalon 及ビ其ノ Ventrikel ノ發育
- 第5節 Hirnbenge ノ形成
- 第6節 Rhombencephalon ノ Neuromerenzahl 及ど Neuromerie ト Hirnnervenganglien トノ關係

第1節 Neuroporus anterior ト Neuroporus posterior ノ 閉鎖ノ時期的關係

腦ノ發生ニ關スル研究ニ方リテハ先ヅ神經管ノ 形成ヲ檢索スル必要アリ又神經管形成ニ關シテハ 前神經孔ト後神經孔ノ閉鎖ノ時期的關係ヲ仔細ニ 觀察スル要アリ. Minot 及ビ Taylor 氏ハ家兎胎 見ノー般發育狀態ヲ觀察シ2箇ノ9日. 原節(13) ノ胎見ニ於テ前神經孔閉鎖セルヲ見、後神經孔ハ 9日12時間. 原節(22)ノ胎兒ニ於テ閉鎖セルヲ 見タリト云ヒ, Keihel 氏六 16 日. 原節(16-21)ノ 豚胎兒ニ於テ前神經孔ハ閉鎖セルモ後神經孔ハ尚 ホ15μノ長サニ亙リテ遺殘セリト記載セリ. 著者 ハ9日.原節(13)ノ胎兒ニ於テ後神經孔ハ尚ホ存 スルモ前神經孔へ閉鎖セルヲ見、後神經孔へ9日 12 時間. 原節(22)ノ胎兒ニ於テ閉鎖セルヲ觀察 セリ. 著者ノ觀察セシ胎兒ノ原節數ハ Minot 及ビ Taylor氏ノ觀察セシ胎兒ノ原節數トハ多少相違ア ルモ前神經孔ハ9日胎兒ニ於テ閉鎖シ,後神經孔 ハ9日 12時間 胎兒ニ於テ 閉鎖セルヲ見タリシコ トニ就テハ全ク一致ス卽チ哺乳類ニ於テハ削神經 孔ハ後神經孔ヨリモ先ニ閉鎖ス、今哺乳類ニ於ケ ル前神經孔ト後神經孔ノ閉鎖順序ヲ著者ノ爨ニ檢 索セシ鳥類(十姉妹及ビ燕)ノソレト比較スルニ十 姉妹ニ於テハ原節(12)ノ胎兒ニ於テ早クモ後神經 孔閉鎖シ,削神經孔ハ原節(14-15)ノ胎兒ニ至リ テ閉鎖セルヲ見タリ. 又燕ニ於テハ原節(14)ノ胎 兒ニ於テ早クモ後神經孔ハ閉鎖シ. 前神經孔ハ原 節(16)ノ胎兒ニ於テ閉鎖セルヲ見タリ卽チ鳥類ニ 於テへ後神經孔八前神經孔ヨリモ先ニ閉鎖シ、哺 乳類ニ於テハ前神經孔先ニ閉鎖シ兩者全ク相反ス.

第2節 Primäre Hirnbläschen 及ビ Sekundäre Hirnbläschen ノ 發生

第1階梯. 8日18時間. 原節(9)ノ胎兒ニ於テ 神經管頭端ハ左右側ニ膨出シテ初メテ前腦ヲ形成 シ, 第2階梯. 8日20時間. 原節(11)ノ胎兒ニ於 テ前腦直後ノ神經管ハ發育シテ稍々膨出スルト同 時ニ輕度ニ腹方ニ屈シテ中腦ヲ形成シ, 第3階梯. 9日. 原節 (13) 胎兒ニ於テハ中腦尾端ニ Suleus rhombo-mesencephalicus 發生シコノ直後ノ神經 管ノ兩側壁及ビ腹壁ハ膨出シテ菱腦ヲ形成シ前神 經孔モ閉鎖シテ前腦モ完全シ3筒ノ原始腦胞分立 ス. 爾後第4及ビ第5階梯ヲ經過スルニ從ヒ3箇 ノ原姶腦胞ハ發育シ第6階梯. 10日 12時間. 原節 (32)ノ胎兒ニ至リテ前腦ノ外壁並ニ内壁ニ夫々横 徑ノSulcus telo-diencephalicus 及ビ Eminentia telo-diencephalica 發生シ之ヲ境界トシテ前腦ハ 終腦ト間腦トノ2箇ノ續發性腦胞ヲ分化ス. 次デ 第7階梯ヲ經テ第8階梯. 12日. 原節(46)ノ胎兒 ニ至レバ菱腦モ發育シテ頭方ノ後腦ト尾方ノ末腦 トヲ分化シ本時期ニ於テ全ク5箇ノ續發性腦胞分 立ス・以上ノ所見ニョリ原始腦胞並ニ續發性腦胞 ノ發生順序ヲ考察スルニ先ヅ原姶腦胞ニ於テハ前 腦最初ニ發生シ次デ中腦發生シ菱腦ハ最後ニ發生 ス. 續發性腦胞ニ於テハ終腦ト間腦ガ前腦ヨリ分 化スルハ比較的早期ナルモ後脳ト末脳ガ菱腦ヨリ 分化スルハ遙ニ後期ナリ. 今哺乳類ニ於ケル原始 腦胞ノ發生順序ヲ著者ノ曩ニ研究セシ鳥類ニ於ケ ルソレト比較スルニ鳥類ニ於テモ3箇ノ原始腦胞 ノ内前腦最初ニ發生シ衣デ中腦發生シ最後ニ菱腦 發生ス. 又哺乳類ニ於ケル續發性腦胞ノ發生順序 ヲ鳥類ニ於ケルソレト比較スルニ唯乳類ト同樣ニ 鳥類ニ於テモ終腦ト間腦ガ前腦ヨリ分化スルハ比 較的早期ナルモ後腦ト末腦 ガ菱腦ヨリ分化スルハ 遙ニ後期ナリ.

第3節 Sekundäre Hirnbläschen ノ 境界

其 1. Telencephalon-Diencephalongrenze.

終腦ト間腦トノ境界ハ内壁ニ於テハEminentia telo-diencephalica ヲ以テスルモ之ハ何處ヲ基點 トスルモノナルカニ就テハ屢々論議サレタル所ニ シテ Kupffer 及ビ Kingsbury 氏等ハ腹壁ニ於 テハ基點ヲ決定スルハ困難ナリト云ヒ, Johnston 氏ハ Schwein ニ就テノ檢索ニ於テ腹壁ニ於テハ Recessus postopticus ニシテ背壁ニ於テハVelum transversum ナリト云ヒ、 Lillie 氏ハ Recessus opticus ト Velum transversum ナリト云へり. 著者ハ第6階梯. 10日12時間. 原節(32)ノ胎兒 ニ於テ Eminentia telo-diencephalica ノ發生ヲ 見, 第8階梯. 12日. 原節(46)ノ胎兒ニ於テハ極 メテ明瞭トナリ Recessus opticus ノ直前ヨリ起 リ斜徑ニ背頭方ニ向ッテ Velum transversum ニ 達セルヲ見タリ是レ著者ノ鑿ニ檢索セシ鳥類ニ於 ケル結果ト全ク一致セルヲ以テ終腦ト間腦トノ內 壁ニ於ケル境界タル Eminentia telo-diencephalica - Recessus opticus - Velum transversum トヲ結プ線ニ一致スト云ヘル Lillie 氏ノ説ニ費ス ルモノナリ.

其2. Diencepholon-Mesensephalongrenze. 間腦ト中腦トノ境界ハ內壁ニ於テハEminentia meso-diencephalica ヲ以テスルモ之ハ何處ヲ基點トセルモノナルカニ就テハ未ダ必ズシモ一致セズ. 著者ノ觀察ニョレバ第6階梯. 10日12時間.原節(32)ノ胎兒ニ於テ Eminentia meso-diencephalica發生シ且間腦腹壁尾方部ニTuberculum posterius 發生シ, Eminentia meso-diencephalicaハ Tuberculum posterius ョリ起リ横徑ニ側壁ヲ經テ背壁ニ達ス. 著者ノ曩ニ研究セシ鳥類ニ於テモ Eminentia meso-diencephalicaハ腹壁ノTuberculum posteriusョリ起リ横徑ニ側壁ヲ經テ青壁ニ達セルヲ見タリ. Patten 氏ハ Pig ニ就テノ検索ニ於テ特ニ Eminentia meso-diencephalicaナル名稱ヲ用ヒズシテ間腦ト中腦トノ境界ハ間腦

尾方部背壁ノ收縮ニョリテ生ゼシ内方隆起ァ腹壁 ノ Tuberculum posterius トヲ結ブ線ヲ以テスト 云ヘリ・卽チ氏ノ所謂内方隆起ナルモノハ Eminentia meso-diencephalica ニ相當スペキモノト 解釋セルヲ以テ著者ノ觀察ハ氏ノ說ニ一致シ,間 腦ト中腦トノ境界ヲナス Eminentia meso-diencephalica ハ腹壁ノ Tuberculum posterius ヨリ起 リ債徑ニ側壁ヲ經テ背壁ニ達スル隆起線ナリトス

其 3. Mesencephalon-Rhombencephalon-grenze.

中腦ト菱腦トノ境界ハ初期ニ於テハ Sulcus rhombo-mesencephalicus ヲ以テス. 之ハ極メテ早期ニ第3階梯. 9日. 原節(13)ノ胎兄ニ於テ發生ス. 爾後中腦及ビ菱腦ハ發育シテ伸展スルモ之ニ反シ Sulcus rhombo-mesencephalicus ハ漸次狭窄シ第7階梯. 11日. 原節(36)ノ胎兒ニ至リテハ Isthmus トナル. 故ニ後期ニ於ケル中腦ト菱腦トノ境界ハ Isthmus ヲ以テス.

其 4. Metencephalon-Myelencephalongrenze.

終腦ト間腦、間腦ト中腦及ビ中腦ト菱腦トノ境界ニ關シテハ從來屢々論ゼラレタル處ナルモ後腦ト末腦トノ境界ニ關シテハ全ク先學ノ記載ヲ見ズ. 因テ著者ハ自己ノ實驗成績ニ Neuromerieニ關スル說ヲ參酌シテ後腦ト末腦トノ境界ヲ闡明ニセントス. 菱腦ガ未ダ後腦ト末腦トヲ分化セザル直前ノ時期ニ於テハ菱腦頭方部內壁ハ付請知ニ側方ニ擴張セルニ過ギザルモ菱腦ガ後腦ト末腦トヲ分化スル時期(第8階梯)ニ於テハ內側ニ於ケル後腦側壁尾方部ト末腦側壁頭方部トノ間部ハ横溝状ニ陷凹シテ Recessus lateralis (Fig. 8. B. R. 1.)ヲ形成シ,次デ後腦ガ小腦ヲ形成セル時期ニ於テRecessus lateralis (Fig. 10. D. R. 1.) ハ極メテ顯著トナル. 既ニ第8階梯ニ於テ詳細ニ記述セシ如ク Recessus lateralis (Fig. 8. B. R. 1.)ノ頭方ハ第

1 Neuromerie ノ領域ニー致シ、Hill (1900) 及ビ Kupffer (1903) 氏等ノ説ノ如ク菱腦ノ第 1 Neuromerie ハ脳神經トハ全ク關係ヲ有セズシテ專ラ後 脳ヲ形成スルモノナルハ蓍者モ認ムル處ナリ卽チ後腦ハ菱腦ノ第 1 Neuromerie ニョリ形成サレ第 1 Neuromerie ハ Recessus lateralis ヨリ頭方ニ在ルヲ以テ後腦ト末腦トノ內壁ニ於ケル境界ハ Recessus lateralis ヲ以テスベキモノナル事ハ極メテ自然的ニシテ且合理的ナリトス

其 5. Rhombencephalon-Räckenmarksgrenze.

菱腦ト脊髓トノ境界ハ Nackenbeuge ヲ以テシ第6階梯. 10日12時間. 原節(32)ノ胎兒ニ於テ其ノ發現ヲ見タリ. 爾後菱腦ハ發育シ第8階梯. 12日. 原節(46)ノ胎兒ニ於テ後腦ト末腦トヲ分化セルヲ以テ末腦ト脊髓トノ境界ハ Nackenbeuge ヲ以テス.

第4節 Sekundäre Hirnbläschen 及ど其ノ Ventrikel ノ發育

其 1. Telencephalon 及ビ其ノ Ventrikel ノ 發育

第5階梯. 10日. 原節(29)ノ胎兒=於テ前腦ハ尚未1箇ノ腦胞トシテ留マルモ次ノ第6階梯. 10日 12時間. 原節(32)ノ胎兒=於テハ前腦ノ外壁並=內壁=夫々 Sulcus telo-diencephalicus 並= Eminentia telo-diencephalica 發生シ之ヲ境界トシテ前腦ハ頭方ノ終腦ト尾方ノ間腦トラ分化ス. 次デ第7階梯. 11日. 原節(36)ノ胎兒=於テ終腦背壁正中部ハ矢狀徑=陷凹シテ Sulcus hemisphäricus (=Fossa sagittaliscerebri)ヲ形成シテ終腦ハ大腦半球ヲ形成セントスル兆ヲ示シ,次デ第8階梯. 12日. 原節(46)ノ胎兒=至レバSulcus hemisphäricus ハー層陷凹シ之ヲ中=挟ミテ終腦ノ背壁及ビ側壁ハ半球狀=膨出シテ初メテ大胸半

球ヲ形成シ、内側ニ於テハ Foramen Monroi ハ 未ず形成サレザルモ腔室ハ背側方ニ擴張シテ側腦 室ョ形成ス. 次デ第9階梯. 14日胎兒ニ至レバ大 腦半球ハ發育シ頭尾徑ヲ増シテ橢圓形ヲ呈シ間腦 頭方部ヲ被覆シ、Nervus olfactorius ハ嗅靈上皮 ョリ發生シテ大腦半球頭方部腹壁ト結合ス. 大腦 半球内壁ニ於テハ Sulcus latero-ventrais 及ビ Sulcus latero-dorsalis 發生シ之ニョリ内側ニ於ケ ル腹壁、側壁及ビ背壁ノ區劃判然トシ、側壁ハ肥 嘎シテ Corpus striatum laterale ヲ形成シ, 腹壁 モ又堤狀ニ肥厚シ側腦室及ビ Orales Ende des dritten Ventrikels =向ヒ隆起シテ Corpus striatum ventrale ヲ形成ス. 斯ク Corpus striatum ventrale ハ堤状ニ肥厚シテ Lamina terminalis ニ接近シ兩者相俟ツテ Foramen Monroi ヲ形成 ス換言セバ Foramen Monroi ノ周壁ハ Corpus striatum ventrale 及ビ Lamina terminalis ョリ 成ル. 左右大腦半球ノ medialerTeil ハ Telencephalon medium ニシテコノ背壁ハ Lamina terminalis ヨリ成リ、腹壁及ビ側壁ハ Corpus striatum ventrale ヨリ成ル而シテ其ノ腔室ハ Orales Ende des dritten Ventrikels ヲ形成シ Foramen Monroi ヲ介シテ側腦室ト交通ス. 次デ第 10 階梯. 16日胎兒ニ至レバ大腦半球ハ蓍シク頭尾徑ヲ増シ 尖端ヲ頭方ニ向ケ Latero-medial ニ稍々扁平ナル 卵圓形ヲ呈シ間腦ノ大部分ヲ被覆シ,大腦半球頭 方部腹壁ハ肥厚スルト同時ニ頭方ニ伸展シテ圓錘 形ヲ呈シ Rhinencephalon ヲ分化シ、 Nervus olfastorius ハ嗅嚢上ヨリ起リテ Rinencephalon ト結合ス.大腦半球内側ニ於テハ mediale Wand ノ内壁ハ堤狀ニ肥厚シ側腦室ニ向ヒ隆起シテ Hippocampus ヲ形成シ、Corpus striatum ventrale ハ著シク肥厚シテ間腦 / Thalamus opticus / 頭 方部ト結合スルニ至ルヲ以テ Foramen Monroi ノ周壁ハ Corpus striatum ventrale, Thalamus opticus 及ビ Lamina terminalis ノ 3 部分ヨリ成 リ, Foramen Monroi ハ極メテ狹隘トナル. 斯 ノ如ク Corpus striatum ventrale 及ビ Corpus striatum laterale ハ著シク肥厚セルニモ拘ラズ Sulcus latero-dorsalis = y Angulus dorsalis = 亙ル大腦半球背壁ハハ菲薄トナリテ Pallium ヲ 形成シ, Lamina terminalis ノー部ハ兩大腦半球 ノ mediale Wand ノ中間ニ向ツテ膨出シテ Paraphyse ヲ形成ス. 側腦室ニ於テハ Plexus chorioideus des Seitenventrikels ヲ見ル, 之ハ飜轉錯 走セルヲ以テ其ノ起始ノ觀察ハ相當ニ困難ナルモ Velum transversum ハ伸長シ側腦室ニ進入セル ヲ見タルヲ以テ Johnston 及ビ Heuser 氏ノ説ノ 如ク Velum transversum ヨリ發生スルモノノ如 シ. 哺乳類大腦半球ノ特有ナルハ蓍者ノ曩ニ檢索 セシ鳥類ノ大腦半球ヨリモ著大ナルコトニシテ、 Paraphyse ハ鳥類ニ於テモ哺乳類ニ於テモ Lamina terminalis ヨリ酸生スルモ鳥類ニ於ケル Paraphyse ハ哺乳類ノソレヨリモ早ク Plexus chorioideus des Seitenventrikels ノ未ダ形成サ レザル時期ニ於テ發生シ且鳥類 Paraphyse ノ發 育ハ哺乳類ノソレヨリモ顯著ナリ.

其 2. Diencephalon 及ビ其ノ Ventrikel ノ發育

間腦ハ第6階梯. 10日12時間. 原節(32)ノ胎 見=於テ前腦ョリ分化シ、背壁及ビ側壁ハ平坦ナ ルモ腹壁尾方部ハ膨隆シテ Tuber mammillare ヲ形成ス. 内側=於テハ限莖腔室ハ間腦腔室ト交 通シ、腹壁尾方部ハ陷凹シテ Recessus mammillaris ヲ形成シ、腹壁尾端ハ肥厚スルト同時ニ腔 室=向ッテ陷入シテ Tuberculum posterius ヲ形 成ス. 次デ第7階梯. 11日. 原節(36)ノ胎兒=於 テ Tuber mammillare ハー層膨出シコノ頭方ニ 於ケル腹壁ハ膨隆シテ Infundibulum ヲ形成ス. 次デ第8階梯. 12日. 原節(46)ノ胎兒=至レバ背

壁モ又伸展シテ背腹徑ヲ増ン形狀ハ背腹ニ橢圓形 ヲ呈ス. 内側ニ於テハ腹壁頭方部ハ側方ニ陷凹シ テ Recessus opticus ヲ形成シ,コノ尾方腹壁ハ陷 凹シテ Recessus infundibuli ヲ形成シ、 腔室ハ 背腹徑ニ長キモ左右徑ハ著シク短縮ス. 次デ第9 階梯. 14 日胎兒ニ至レバ間腦頭方部ハ大腦半球ニ ョリテ被覆サレ、背壁正中部ハ小突起狀ニ隆起シ テ Epiphyse ヲ形成シ之ヲ中心トシテ間腦背壁ハ 頭方ノ Parencephalon ト尾方ノ Synencephalon トヲ分化ス・兩側壁ハ著シク肥厚シ內腔ニ向ツテ diffus ニ隆起セルヲ以テ腔室ハ蓍シク左右徑ヲ短 縮シテ第3腦室ヲ形成シ、側壁内面ニ於テ Sulcus hypothalamicus 或ハ His 氏ノ所謂 Sulcus limitans 發生ス卽チ Sulcus hypothalamicus ハ Foramen Monroi ノ入口部及ビ Recessus opticusノ 2箇所ョリ出發シ、Recessus opticus ョリ出發セ ルモノハ涂中ニナ中絶シ Foramen Monroi ヨリ 起レルモノニ合流セザルモ Foramen Monroi ヨ リ出發セルモノハ間腦側壁ヲ尾方ニ向ツテ縱走シ 中腦ヲ經テ菱腦ニ至ル. 次デ第 10 階梯. 16 日胎兒 ニ於テ大腦半球ハ蓄シク伸展セルヲ以テ間腦ハ其 ノ頭方部及ビ腹方部ヲ除ク大部分ハ大腦半球ニヨ リテ被覆サレ、Parencephalon ハー層尾方ニ向ツ テ伸展シ之ニ從ツテ Epiphyse ハ尾方ニ移位シ 側壁へ極メテ平坦ナルモ腹壁へ著シク膨出シテ後 腦腹壁ヨリ分化セル Pons ト相對シー 腹壁尾方部 ニ於テ Tuber mammillare ハ著シク膨出シテ中 腦腹壁ト相對シコノ頭方ニ於テ Infundibulum モ 又著シク膨隆ス. 内側ニ於テ間腦側壁背方部ハ圓 堤狀ニ肥厚シテ Thalamus opticus ヲ形成シ、側 壁腹方部モ又肥厚シテ Hypothalamus ヲ形成シ 之ト Thalamus opticus トノ間ニ於テ Sulcus hypothalamicus ハ顯著ナル縱溝狀ヲナス. 腹壁頭端 ニ於テ Recessus opticus ハ側方ニ路凹シ,コノ直 後ハ堤狀ニ肥厚シテ Chiasma opticum ヲ形成シ, コノ直後ニ於テ Recessus infundibulum ハ漏斗 狀ニ陷凹シ、腹壁尾端ニ於テ Tuberculum posterius ハ極メテ肥厚シ第 3 脳室ニ向ツテ隆起ス.

His 及ピ Johnston 氏ニョレバ Sulcus hypothalamicus 或ハ Sulcus limitans ハ 2 ツノ合流ョ リ成リ其ノ支流ハ Foramen Monroi ヨリ起ルモ 主流へ Recessus opticus ヨリ起ルト云ヒ、Rheichert 氏ハ Foramen Monroi ノミヨリ起ルト云ヒ 之ヲ Sulcus Monroi ト命名セリ. 著者ノ觀察ニヨ レバ Sulcus hypothalamicus ハ第9階梯ニ於テハ Foramen Monroi ヨリ起レルモノト Recessus opticus ヨリ出發セルモノヲ見タルモ Recessus opticus ヨリ起レルモノハ途中ニテ中絶シ Foramen Monroi ヨリ起レルモノニ合流セザリシモ (Fig. 9. D. S. l.) 第 10 階梯ニ於テハ Recessus opticus ヨリ起レルモノハ極メテ顯著トナリ Thalamus opticus ト Hypothalamus トノ間ヲ經テ尙 ホ尾方ニ総走シ, 第9階梯ニ於テ見タルForamen Monroi ヨリ起レルモノハ第10階梯ニ於テハ Thalamus opticus ノ發生ニョリテ稍々不明瞭ト ナルモ Foramen Monroi ノ入口部ヨリ出發シ Thalamus opticus > Corpus striatum ventrale トノ間ヲ經テ走行シ Recessus opticus ヨリ起レ ルモノニ合流スルヲ見タリ. 卽チ Sulcus hypothalamicus ハ Foramen Monroi ノミヨリ起ルト 云へル Reichert 氏ノ説ニ反スル結果ヲ見,支流 ハ Foramen Monroi ヨリ起ルモ主流ハ Recessus opticus ヨリ出發スト云ヘル His 氏及どJohnston 氏 / 説ニー致セル結果 ヲ見 タリ. 哺乳類 / 間腦 ハ 著者ノ曩ニ檢索セシ鳥類ノソレト同樣ニ Parencephalon 及ビ Synencephalon ヲ分化スルモ哺乳 類ノ Rarencephalon 及じ Synencephalon ハ鳥類 ノソレ程顯著ナラズ. Patten 氏ガ鶏胎ト豚胎兒 トニ就テノ検索ニ於テ記載セシ如ク著者ノ觀察ニ 於テモ鳥類間腦ノ Epiphyse ハ早クモ大腦半球ノ

初メテ形成セラレル時期ニ於テ發生スルモ哺乳類 ノ Epiphyse ハ大腦半球ノ形成サレタ後ニ至リテ 初メテ發生ス. 且哺乳類ノ Epiphyse ハ鳥類ノソ レ程顯著ナラズ.

其 3. Mesencephalon 及ビ其ノ Ventrikel ノ發育

中脳ハ第2階梯. 8日20時間. 原節(11)(1)胎 見ニ於テ前腦直後ノ神經管ヨリ分化シ腹方ニ屈シ テ輕度ナル Kopfbeuge ヲ形成シ、腹壁ハ Plica encephali ventralis ヲ形成ス. 次デ第3階梯. 9 日. 原節(13)ノ胎兒ニ於テハ兩側壁伸展シ,尾方 部二輪狀/ Sulcus rhombomesencephalicus 發 生シテ菱腦トノ境界明瞭トナル. 次デ第4階梯, 第5階梯及ビ第6階梯ヲ經ルニ從ヒ漸次兩側壁ハ 伸展シ又 Kopfbeuge ハ蓍明トナリ、 第7階梯. 11日. 原節(36)ノ胎兒ニ於テ Sulcus rhombome sencephalicus ハ著シク狹窄シテ Isthmus ヲ形成 シ, 第9階梯. 14日胎兒ニ至レバ中腦背壁正中部 =矢狀徑/ Sulcus medianus mesencephali 發 生シ之ヲ中心トシテ背壁及ビ兩側壁ハ膨出シテ Lobus opticus ヲ形成セントスル兆ヲ示シ,腹壁 ョリハ1對ノ Nervus oculomotorius 發生ス. 內面 觀ニ於テ背壁ハ菲薄ナルモ腹壁ハ堤狀ニ肥厚シ腔 室=向ッテ隆起シテPedunculus cerebri(=Crura cerebri) ヲ形成シ、腔室ハ側方ニ擴張ス、次デ第 10 階梯. 16 日胎兒ニ於テ背壁正中線上ノ Sulcus medianus mesencephali ハー層著明トナリ之ヲ 中心トシテ中腦ノ背壁及ビ側壁ハ蓍シク側尾方ニ 膨出シテ左右ノ Lobus opticus ヲ形成シ, Nervus oculomotorius ハー層發育ス. 内側ニ於テ Pedunculus cerebri ハ極メテ肥厚シ腔室ニ向ッテ堤狀 ニ隆起シ、 腔室ハ側尾方ニ擴張シ狹隘ナル Isthmus ノ腔室ヲ介シテ第4腦室ト交通ス.

其4. Metencephalon 並= Myelencephalon 及ビ其ノ Ventrikel ノ發育

菱腦ハ第7階梯. 11日. 原節(36)ノ胎兒ニ於 テハ末ダ1箇ノ原始脳胞ナルモ第8階梯. 11日. 原節 (36) ノ胎兒ニ於テ菱腦ハ頭方ノ後腦ト尾方 ノ末腦トヲ分化ス. 外壁ニ於ケル後腦ト末臘トノ 境界ハ明瞭ナラザルモ既ニ第3節ニ於テ記述セシ 如り内壁ニ於テハ Recessus lateralis 發生シ後 腦ト末腦トノ境界明瞭ナリ. 本時期ニ於テハ外壁 ニ於ケル Neuromeren ハ退化シ内壁ニ於ケルソ レハ尚ホ遺殘セルモ將ニ退化セントシ、Recessus lateralisノ頭方ハ第1 Neuromerieノ領域ニ一致セ ルヲ以テ後腦ハ菱腦ノ第 1 Neuromerie ヨリ形成 サレルヲ知リ Hill 及じ Kupffer 氏ノ説ヲ首肯ス. 後腦ノ背壁及ビ側壁ハ膨隆シ、末腦ノ背壁ハ平坦 ナルモ腹壁頭方部ハ膨隆シテ Brückenbeuge ヲ形 成ス. 次デ第9階梯. 14日胎兒ニ於テ後腦ノ背壁 及ビ側壁ハ蓍シク膨隆シ、末腦ノ背壁ハ平坦ナル モ腹壁頭方部ハー層膨隆シテ Brückenbeuge ハ顯 著トナル、内面觀ニ於テ後腦ノ背壁及ビ側壁ハ肥 厚シテ小腦ヲ形成セントシ, 腹壁モ肥厚シテ Pons ヲ形成セントス、末臘ノ背壁ハ極メテ菲薄ナルモ 側壁及ビ腹壁ハ著シク肥厚シ、末腦腔室ハ後腦腔 室ト共ニ蓍シク左右徑ヲ短縮シテ第4腦室ヲ形成 ス. 次デ第10階梯. 16日胎兒ニ至レバ後腦ノ背 壁及ピ側壁ハ極メテ肥厚シ横堤狀ニ隆起シテ小腦 ヲ形成シ,腹壁モ又肥厚シテ Pons ヲ形成ス. 末 腦ノ背壁ハ極メテ菲薄ニシテ其ノ頭方部卽チ Recessus lateralis 直後ノ背壁ハ叢狀ニ内飜シテ Plexuschorioideus des IV. Ventrikels ヲ形成 ス其ノ組織ハ 既ニ記述セシ Plexuschorioideus des Seitenventrikels ノソレト同様ニ内層ト周圍 層トヨリ構成セラレ内層ハ Mesenchym ヨリ成リ Gefässreich ニシテ周圍層ハ菲薄ニシテ脳組織ョ リ成ル、末腦ノ腹壁ハ極メテ肥厚シ側壁ト共ニ幼 若ナル延髓ヲ形成シ,第4腦室ハ狹隘トナリ略ボ 十字形ヲ呈ス.

第5節 Hirnbeuge ノ形成

哺乳類腦ハ鳥類腦ト同様ニ Kopfbeuge, Nackenbeuge 及ど Hirnbeuge ノ3 種ノ Kopfbeuge ヲ形成ス. 卽チ第1階梯. 8日18時間. 原節(9) ノ胎兒ニ於テ前腦直後ノ將來中腦トナルベキ神經 管ハ輕度ナガラモ腹方ニ屈シテ早クモKopfbeuge ヲ形成シ, 次デ第2階梯. 8日20時間. 原節(11) ノ胎兒ニ於テ前腦直後ノ神經管ノ兩側壁ハ膨出シ テ中腦 ヲ形成シ Kopfbeuge ハー層著明トナル. 第6階梯. 10日12時間. 原節(32)ノ胎兒ニ於テ 菱腦尾方部ハ腹方ニ屈シテ Nackenbeuge ヲ形 成シ, 第8階梯. 12日. 原節(46)ノ胎兒ニ於テ 末腦頭方部腹壁ハ膨出シテ Brückenbeuge ヲ形成 ス. 創チ3種ノ Hirnbeuge ノ内 Kopfbeuge ハ最 初ニ形成サレ次デ Nackenbeuge 形成サレ最後ニ Brückenbeuge 形成サル. 此形成順序ハ鳥類ニ於 テモ又同様ナリ然ルニ哺乳類ノ Kopbfeuge ハ鳥 類ノソレヨリモ極メテ早期ニ於テ形成サルルハ相 違スルトコロナリ.

第6節 Rhombencephalon ニ於ケル
Neuromerenzahl 及ビ Neuromerie ト Hirnnervenganglien トノ關係

哺乳類菱腦 / Neuromerenzahl = 陽シテハ Bradley (1904—1905)氏ハ19日ノ豚胎兒ニ於テ7對ヲ發見シ、Heuser (1913—1914)氏ハ5.1mmノ豚胎兒ニ於テ同ジク7對ヲ觀察シ、丸山(1932)氏ハ同ジク豚胎兒ニ於テ6對ヲ見タリ、著者ハ組織學的觀察並ニ模型觀察ニョリ第5階梯、10日.原節(29ノノ家兎胎兒菱腦ニ初メテ第1乃至第5ノ5對ノ Neuromere ノ發生ヲ見、次デ第6階梯、10日12時間、原節(32)ノ胎兒ニ於テ第6 Neuromerie ノ發生ヲ見タリ、第7階梯、11日原節(36)

ノ胎児ニ於テハ菱腦外壁ニ於ケル 6 對ノ Neuromerenwulst 及ビ之ニ一致セル内壁ニ於ケル路凹ハー層顯著トナリ、第 8 階梯、12 日、原節(46)ノ胎児ニ於テハ内壁ニ於ケル6對ノ路凹狀ノ Neuromeren ハ尚ホ存スルモ外壁ニ於ケル Neuromerenwulst ハ退化シ、第 9 階梯、14 日胎兒ニ於テハ内壁ニ於ケル Neuromeren モ全ク消失セルヲ見タリ、 即チ 著者ハ削メテ 家兎菱腦ニ於テ 6 對ノ Neuromeren ヲ殺見シ、Neuromeren ノ退化現象ニ就テハ先ヅ外壁ニ於ケルモノョリ退化シ次デ内壁ニ於ケルモノコリ退化シ次デ内壁ニ於ケルモノコリア・フリストラ大型の

菱腦 / Neuromerie ト脳神經トノ關係ニ就テハ Hoffmann (1889),Alexander (1907),Bradley (1906) 及ビ Streeter (1933) 氏等ノ研究アルモ未 ダ所論ヲ異ニシ一致スルニ至ラズ、今氏等ノ研究 結果ヲ便宜上表示スレパ次ノ如シ (次頁参照)・

創チ Nervus trigeminus ハ菱腦ノ第2 Neuromerie ト結合シ、Nervus acustico-fasialis ハ第 4 Neuromerie ト結合セルコトニ就テハAlexander, Hoffmann 及ピ Bradley 氏等ノ間ニー致アルモ Streeter 氏ノ観察ハ上記 3 者ノ成績ト相違ス. Nervus glossopharingeus ハ第 6 Neuromerie ト 結合シ, Nervus vagus ハ第 7 Neuromerie ト結 合セルコトニ關シテハ Hoffmann ト Bradley ト ノ間ニー致アルモ Alexander ハ Nervus glossopharingeus 及ビ Nervus vagus ハ夫々第7及ビ 第 8 Neuromerie ト結合セルヲ見, Streeter ハ 夫々第5及ピ第6 Neuromerie ト結合セルヲ記載 セリ・著者ハ組織學的觀察及ピ模型觀察ニヨリ第 5階梯. 10日. 原節(29)ノ胎兒ニ於テ Nervus trigeminus ノ Ganglion semilunare ハ第2 Neuromerie ヨリ競生セルヲ見, Nervus acusticofacialis / Ganglon acustico-faciale ハ第4 Neuromerie ヨリ發生セルヲ觀察セリ. 次デ第6階梯.

Autoren	Tiere	Zahl der Rhom- bencephalon- neuromeren	Beziehungen der Hirnnerven zu der Rhombencephalon-neuromeren
C. K. Hoffmann (1889)	Lacerta u. Tropidonotus	7	Aus II. Neuromerieentspringt N. trigeminus * IV.
O. C. Bradley (1906)	Schwein	7	Aus II. Neuromerieentspringt N. trigeminus / IV. /
Alexander (1907)	Hähnchen	8	Aus II. Neuromerieentspringt N. trigeminus 1V. /N. acustico-facialis VII. /N. glossopharingeus VIII. /N. vagus
G. L. Streeter	Hühnchen	6	Aus I. Neuromerieentspringt N. trigeminus / III. /
河 内 (1935)	Kaninchen	6	Aus II. Neuromerieentspringt N. trigeminus IV. /

10日12時間. 原節(32) / 胎兒=於テ Nervus glossopharingeus / Ganglion superius ハ第 6 Neuromerie ョリ發生セルヲ見, Nervus vagus / Ganglion jugulare ハ第 6 Neuromerie ョリ尾方ノ菱腦側壁ョリ發生セルヲ見タリ. 此關係ハ表中最後=示セリ. 今著者ノ成績ヲ前記諸氏ノソレト比較スル= Nervus trigeminus / Ganglion semilunare 及ビ Nervus acustico-facialis / Ganglion acustico-faciale ハ夫々菱腦ノ第 2 Neuromerie 及ビ第 4 Neuromerie ヨリ發生セルコトニ就テハ Streeter ノ成績ト相違セルモ Hoffmann, Alexander 及ビ Bradley 氏等ノ成績=一致セル

結果ヲ得、Nervus glossopharingeus / Ganglion superius ハ第 6 Neuromerie ヨリ發生セルコトニ就テハ Alexander 及ピ Streeter 氏ノ成績ト相違セルモ、Hoffmann 及ピ Bradley 氏等ノ成績トー致セル結果ヲ得タリ、著者ハ既ニ記述セシ如ク家 死髪腦ニ 6 對ノ Neuromerie ヲ見、第 7 或ハ第 8 Neuromerie ナルモノハ認メズシテNervus vagus ノ Ganglion jugulare ハ第 6 Neuromereノ直後ノ菱臘側壁ヨリ發生セルヲ見タルヲ以テ Hoffmann 及ピ Bradley 氏等ノ Nervus vagus ハ第 7 Nauromerie ト結合スト云ヘル説換言セバ Nervusvagus ノ Ganglion jugulare ハ第 7 Neuromerie ョリ發

生スト云へル氏等ノ説ニハ賛意ヲ表シ得ズ.

次二家兎菱腦ノ Neuromerenzahl 及ビ Neuromerie ト腦神經節トノ關係ヲ著者ノ曩ニ檢索セシ鳥類(十姉妹及ビ燕)ノソレト比較スルニ Neuromerenzahl ニ關シテハ家兎ト同様ニ鳥類ニ於テモ6 對ヲ觀察セリ. Neuromerie ト腦神經節トノ關係ニ就テハ燕胎兒ニ於テ Nervs trigeminus 及ビ Nervus acustico-facialis ノ神經節ハ夫々第2 Neuromerie 及ビ第4 Neuromerie ヨリ發生シ、Nervus vagus ノ神經節ハ第6 Neuromerie ノ直後ノ菱腦側壁ヨリ發生セルヲ見家兎ニ於ケル觀察ト一致セリ.

第5章 結 論

銀ニ發表セシ鳥類腦/形態學的發生ニ關ス ル研究成績ト比較シ哺乳類殊ニ家鬼腦/形態 學的發生ニ關シテ次/主ナル結論ヲ得タリ.

- 1) 前神經孔ハ9日. 原節(13)/胎兒ニ於テ閉鎖シ,後神經孔ハ9日 12 時間. 原節(22) ノ胎兒ニ於テ閉鎖ス. 即チ哺乳類ニ於テハ前神經孔ハ後神經ョリモ先ニ閉鎖ス. 鳥類ニ於テハ之ト全ク反對ニ後神經孔先ニ閉鎖ス.
- 2) 神經管ノ頭方部ハ8日18時間. 原節(9)ノ胎兒ニ於テ前腦ヲ形成シ,8日20時間. 原節(11)ノ胎兒ニ於テ中腦ヲ形成シ,9日. 原節(13)ノ胎兒ニ於テ麥腦ヲ形成シ茲ニ3簡ノ原始腦胞分立ス. 即チ3箇ノ原始腦胞ハ同時ニ形成サレルモノニアラズシテ鳥類ニ於テモ哺乳類ニ於テモ最初前腦形成サレ次デ中腦形成サレ最後ニ菱腦形成サル.
- 3) 前腦ハ10日12時間. 原節(32)ノ胎兒 ニ於テ終腦ト間腦トヲ分化シ, 菱腦ハ12日. 原節(46)ノ胎兒ニ於テ後腦ト末腦トヲ分化 ス, 即チ終腦ト間腦ノ形成ハ後腦及ビ末腦ノ

形成ヨリモ遙ニ早期ニ於テサレ此關係ハ鳥類 ニ於テモ又同様ナリ.

4) 大腦半球ニ關シテハ,

12日. 原節(46) / 胎兒ニ於テ終腦 / 背壁正中部ニ矢狀徑 / Sulcus hemisphäricus 發生シ之ヲ境界トシテ終腦 / 背壁及ビ側壁ハ左右ノ大腦半球ヲ形成シ,其ノ內腔ハ背側方ニ擴張シテ側腦室ヲ形成ス.

14日胎兒ニ於テ大腦半球腹壁ノ內壁ハCorpus striatum ventrale ヲ形成シ,大腦半球側壁ノ內壁ハCorpus striatum laterale ヲ形成ス. Corpus striatum ventrale ハLamina terminalis ニ接近シ兩者相俟ツテFormen Monroi ヲ形成ス. Telencephalon mediumノ領域ハ判然トスルニ至ル即チ其ノ背壁ハ Lamina terminalis ヨリ成リ,腹壁及ビ側壁ハ Corpus striatum ventrale ヨリ成ル而シテ共ノ腔室ハ Orales Ende des dritten Ventrikels ヲ形成シ Foramen Monroi ヲ介シテ側腦室ト交通ス.

16日胎兒=於テ大腦半球頭方部/腹壁ハRhinencephalon ヲ分化ス. Corpus striatum ventrale ハ間腦ノ Thalamus opticus ト結合スルニ至レハヲ以テ Foramen Monroi ノ周壁ハ Corpus striatum ventrale, Thalamus opticus ノ頭方部及ビ Lamina terminalis ノ 3部分ョリ成リ Foramen Monroi ノ形成完成ス. 大腦半球背壁ハ Pallium ヲ形成シ, mediale Wand ハ Hippocampus ヲ形成シ, Lamina terminalis ノ一部ハ Paraphyse ヲ形成シ, Velum transversum ハ Mesenchymト共ニ Plexus chorioideus des Seitenventrikels ヲ形成ス.

5) 間腦ニ闘シテハ,

10日、12時間、原節(32)ノ胎兒ニ於テ間腦 腹壁尾方部ハ Tuber mammillare ヲ形成シ, 腹壁尾端ハ Tuberculum posterius ヲ形成ス. 11日、原節(36)ノ胎兒ニ於テ Tuber mam-

11日. 原節(36)ノ胎兒ニ於テ Tuber mammillareノ頭方ニ於ケル間腦腹壁ハ Infundiebulum ヲ形成ス.

14日 胎兒ニ於テ間腦背壁ハ Parencephalon ト Synencephalon トラ分化シ, 間腦背壁正中線上ノ一部ハ Epiphyse サ形成シ, 間腦腔室ハ著シク左右徑ヲ短縮シテ第3腦室ヲ形成ス.

16日胎兒ニ於テ間腦側壁背方部ハ Thalamus opticus ヲ形成シ,側壁腹方部ハ Hypothalamus ヲ形成ス. Sulcus hypothalamicus 或ハ所謂 His 氏ノ Sulcus limitansハ Foramen Monroi ヨリ出發セルモノト Recessus opticus ヨリ出發セルモノトノ合流ヨリ成リ Thalamus opticusト Hypothalamusトノ間ヲ經テ尚ホ尾方ニ縱走ス.

6) 中腦ニ關シテハ,

14日胎兒ニ於テ中腦背壁正中部ニ矢狀徑/
Sulcus medianus mesencephali 發生シ,中
腦腹壁ハ Pedunculus cerebri ヲ形成シ,且
腹壁ョリ1對ノ Nervus oculomotorius 發生
ス.

16日胎兒ニ於テ Sulcus medianus mesencephali ハー層陷凹シ之ヲ境界トシテ中腦ノ 背壁及ビ側壁ハ左右ノ Lobus opticus ヲ形 成ス.

7) 後腦及ビ末腦ニ關シテハ,

14日胎兒ニ於テ後腦及ビ末腦ノ腔室ハ著シ ク左右徑ヲ短縮シテ第4腦室ヲ形成ス. 16日胎兒ニ於テ後腦ノ背壁ハ側壁ト共ニ横 堤状ニ肥厚シテ小腦ヲ形成シ, 腹壁ハ Pons ヲ形成ス. 末腦ノ背壁ハ Mesenchym ト共ニ Plexus chorioideus des IV. Ventrikels ヲ 形成シ,腹壁ハ側壁ト共ニ延體ヲ形成ス.

- 8) 續發性腦胞ノ境界ハ鳥類ニ於テモ哺乳 類ニ於テモ、
- (A) Telencephalon-Diencephalongrenze タル Eminentiatelo-diencephalica ハ Recessus opticus ト Velum transversum トノ結 合線ニー致ス.
- (B) Diencephalon-Mesencephalongrenze タル Eminentia meso-diencephalica ハ Tuberculum posterius ヨリ横徑ニ側壁ヲ經テ 背壁ニ達セル線ニ一致ス.
- (C) Mesencephalon-Rhombencephalon-grenze ハ初期ニ於テハ Sulcus rhombomesencephalicus ヲ以テシ,後期ニ於テハ Isthmus ヲ以テス.
- (D) Metencephalon-Myelencephalongrenze ハ Recessus lateralis ヲ以テス.
- 9)哺乳類腦ハ鳥類腦ト同様ニ3種ノ腦彎曲ヲ形成ス而シテ該腦彎曲ノ形成部位及ビ形成順序ニ關シテハ哺乳類ニ於テモ鳥類ニ於テモ同様ニ Kopfbeuge ハ最初ニ中脳ニヨリテ形成サレ, 次デ Nackenbeuge ハ菱腦尾端部ニヨリテ形成サレ, Brückenbeuge ハ最後ニ末腦頭方部ノ腹壁ニョリテ形成サル.
- 10) 菱腦ノ Neuromerenzahl ニ關シテハ6對ヲ發見シ,著者ノ曩ニ檢索セシ鳥類ノNeuromerenzahlト一致セル結果ヲ得タリ.

菱腦ノ Neuromerie ト Hirnnervenganglien トノ關係ニ就テハ.

- (A) 第5 脳神經ノ Ganglion semilunare ハ第2 Neuromerie ヨリ發生ス.
- (B) 第7及ビ第8脳神經ノ Ganglion acustico-faciale ハ第4 Neuromerie ヨリ發生ス.
- (C) 第9脳神經ノ Ganglion superius ハ 第6 Neuromerie ョリ發生ス.
- (D) 第 10 脳神經ノ Ganglion jugulare ハ Neuromerieト關係ヲ有セズシテ第 6 Neuromerie 直後ノ菱脳側壁ヨリ發生ス.

擱筆スルニ當リ恩師敷波教授ノ懇篤ナル御 指導ト御校閥ノ祭ヲ深謝ス.

100 文

1) C. H. Heuser, Amer. Journ. of Anat., 2) C. K. Hoffmann, Zool. Vol. 15, 1913-14. Anzei., 12 Jahrg. 1889. 3) C. S. Minot and E. Taylor, Keibel'sche Normentafeln zur Entwicklungsgeschichte der Wirbeltiere, 5 Heft 4) F. Hochstetter, Anat. Anzei., X. 1905. Nr. 9, 1895. 5) F. Lewis, Amer. Journ. of Anat., Vol. 11, 1902-03. 6) Hess, Morph. 7) His, Archiv f. Jahrb., Bd. X, 1885. Anat. u. Physiol. Anat. Abt., 1892. 8) His, Archiv f. Anat. u. Entwickl., 1893. 9) Johnston, Journ. of Comp. Neuro., Vol. XIX, 1909. 10) Kappers, Anat. Anzei., Bd. 33, 1908. 11) Kappers u. Theunissen, Anat. Anzei., Bd. 30, 1907. 12) Keibel, Keibel'sche Normentafeln zur Entwicklungsgeschichte der Wirbeltiere, 11 Heft, 1897. 13) Kupffer, Hertwigsche Handb. d. vergl. u. exp. Entwicklung, d. Wirbeltiere, Bd. 2, 1906. 14) Maruyama, Okayama I. Z. Jg. 44, Nr. 3, 1932. 15) Marion Hines, Journ. of Compara. Neurol., Vol. 34, 1922. 16) M. Alexander, Anat. Anzei., Bd. 31, 1907. 17) O. C. Bradley, Journ. of Anat. and Physiol., Vol. XL, 1906. 18) Patten,

Embryology of the pig, 1927. 19) Stroud, Journ. of Comp. Neurol., Vol. V, 1895. 20) Th. Ziehen, Hertwigsche Handb. d. vergl. u. exp. Entwicklungslehre d. Wirbeltiere, Bd. 2, 1906. 21) Thompson, Journ. of Anat. and Physiol., Vol. 43, 1909. 22) W. Thyng, Anat. Record, Vol. 5, 1911.

插圖說明

- Fig. 1. A. (第1階梯) 神經管模型 背面觀 (100/1) Ca 1/2 縮少寫載
- Fig. 1. B. (同 上) 同 上 左側面觀 (100/1) Ca 1/2 縮少寫載
- Fig. 2. A. (第2階梯) 神經管模型. 背面觀 (100/1) Ca 1/2 蓋少寫載
- Fig. 2. B. (同 上) 同 上 左側面観 (100/1) Ca 1/2 縮少寫載
- Fig. 3. A. (第3階梯) 神經管模型. 背面觀 (100/1) Ca 1/2 縮少寫載
- Fig. 3. B. (同 上) 同 上 左側面觀 (100/1) Ca 1/2 縮少寫載
- Fig. 4. (第4階梯) 腦部模型. 左側面觀 (100/1) Ca 1/2 縮少寫載
- Fig. 5. A. (第5階梯) 中脳ノ横斷及ビ菱腦 ノ前額斷切片圖. Ca.80倍
- Fig. 5. B. (同 上) 腦部模型. 外形. 右 側面觀 (100/1) Ca 1/2 縮少寫載
- Fig. 5. C.) 同 上 同 上 正中斷內 面 同上
- Fig. 6. A. (第6階梯) 中腦ノ横斷及ビ菱腦 ノ前額斷切片圖. Ca 80 倍
- Fig. 6. B. (同 上) 腦部模型 外形 右 側面觀 (75/1) Ca 1/2 縮少寫載
- Fig. 6. C. (同 上) 同 上. 正中斷內面. 同上

- Fig. 7. A. (第7階梯) 腦部模型. 外形. 背面觀 (50/1) Ca 2/3 縮少寫載
- Fig. 7. B. (同 上) 同 上 外形 左 側面觀 同上
- Fig. 8. A. (第8階梯) 腦部模型. 外形. 左 側面觀 (50/1) Ca 2/5 縮少寫載
- **Fig. 8. B.** (同上) 同上· 正中斷內 面·同上
- Fig. 9. A. (第9階梯) 腦部模型. 外形. 背面觀(30/1) Ca. 2/5 縮少寫載
- Fig. 9. B. (同 上) 同 上 左側面観 同上
- Fig. 9. C. (同 上) 大脳半球ノ横断切片 圖. Ca 40 倍
- **Fig. 9. D.** (同 上) 腦部模型 正中斷內 面 左側面觀 同上
- Fig. 10. A. (第 10 階梯) 腦部模型, 外形, 左 側面觀 (30/1) Ca 2/5 縮少寫載
- Fig. 10. B. (同 上) 大腦半球ノ横斷切片 圖. Ca 20 倍
- Fig. 10. C. (同 上) 腦部模型. 正中斷內 面. 左側面觀. 同上
- Fig. 10. D. (同 上) 中腦腹壁部ノ横斷及 ビ延髓側壁部ノ前額斷切片圖. Ca 20 倍

Verzeichnis der Abkürzungen.

Abe. = Augenbecher.A. d. = Angulusdorsalis. Asv. = Augenstielventrikel. Asp. =Ast. == Augenstiel. Bb. = Augenspalte. Cb. = Cerebellum. C. c. =Brückenbeuge. Canalis centralis. C. op. = Chiasma opticum C. s. l. = Corpus striatum laterale. Corpus striatum ventrale. Dc. = Diencephalon. Eb. = Epidermisblatt. E. md. = Eminentia E. td. = Eminentia telomeso-diencephalica. diencephalica. Ep. = Epiphyse.E. rm. =Eminentia rhombo-mesencephalica. F. hc. =

Fissura hippocampi. F. M. = Foramen Monroi. G. sp. =G. a. f. = Ganglion acustico-faciale.Ganglion superius Nervi glossopharingei. G. s. G. j. = Ganglion= Ganglion semilunare. jugulare. H, = Grosshirnhemisphäre. Hb. =Hg. =Höhrblase. Hc. = Hippocampus. Höhrgrube. Hp. = Höhrplatte. Ht. = Hypothalamus. I. = Infundibulum. Is. = Isthmus. L. t. = Lamina ter-L. op. = Lobus opticus. minalis. Mc. = Mesencephalon. M. ob. =Medulla oblongata. Mtc. = Metencephalon. $Myc. \Rightarrow Myelencephalon.$ N. a. = Neuroporus. anterior. N. p. = Neuroporus posterior. Nro. = Nervenrohr. Nri. = Nervenrinne. N. ol. = N. om. = Nervus oculo-Nervus olfactorius. motorius. N. op. = Nervus opticus. Nackenbeuge. Nm. = Neuromeren. O. III. V. — Orales Ende des dritten Ventrikels. Pc. =Prosencephalon. Pac. = Parencephalon. Pa. P. ab. = Primäre augenblase. = Paraphyse. P. cb. = Pedunculus cerebri. P. e. v. = Plicaencephali ventralis. Pl. = Pallium. P. ch. Sv. = Plexuschorioideus des Seitenventrikels. ch. IV. V. = Plexus chorioideus des vierten Ventrikels. Rc. = Rhombencephalon. Rhinencephalon. R. l. = Recessus lateralis. R. i. = Re-R. m. = Recessus mammillaris. cessus infundibuli. R. op. = Recessus opticus. Sc. = Synencephalon.Sv. = Seitenventrikel.S. md. = Sulcus meso-diencephalicus. S. rm. = Sulcus rhombo-mesencephalicus. S. td. = Sulcus telo-diencephalicus. S. h. = Sulcus hemisphäricus. S. m. m. = Sulcus medianus mesen-S. l. v. = Sulcus latero-ventralis. cephali. S. l. d. = Sulcus latero-dorsalis. S. l. h. = Sulcus limitans hippocampi. S. ht. = Sulcus hypothalamicus. Tc. = Telencephalon.T. m. =Tuber mammillare. T. op. == Thalamus opticus T. p. = Tuberculum posterius. V. t. = Velumtransversum. III. V. = dritten Ventrikel. IV. V. = vierter Ventrikel.